

**APORTACION A LA AUTOMATIZACION EN LA TOMA  
DE MEDIDAS Y PROCESADO DE DATOS SOBRE  
MODELOS FOTOELASTICOS Y OPTOMECANICOS.**



**TESI DOCTORAL**

**PRESENTADA A**

**L'ESC. TEC. SUPERIOR D'ENGINYERS INDUSTRIALS**

**DE BARCELONA**

**UNIVERSITAT POLITÈCNICA DE CATALUNYA**

**PER L'OBTENCIO DEL**

**GRAU DE DOCTOR ENGINYER**

**PER**

**Frederic Marimón Carvajal  
PROF. ASSOCIAT U.P.C.**

**DIRECTOR DE TESI**

**Dr. Francesc Roure Fernández  
PROF. TITULAR U.P.C.**

**Barcelona, Maig 1988.**

R47752

---

**ANEXO I**  
**ECUACIONES DE LA ELASTICIDAD**  
**NOMENCLATURA**

---

## A.1 ECUACIONES DE LA ELASTICIDAD

En el desarrollo de esta Tesis se han utilizado distintas fórmulas que definen el comportamiento tensional y deformacional del sólido. Son relaciones clásicas, por todos conocidas y cuya demostración puede encontrarse en multitud de textos.

A continuación se procederá a una enumeración ordenada de las principales ecuaciones, a fin de poderlas referenciar y seguir un criterio coherente de signos y nomenclatura.

### ESTADO DE TENSION EN UN SOLIDO ELASTICO

El estado tensional en un punto concreto del sólido queda perfectamente definido por el Tensor Tensión  $[\tau]$

$$\begin{array}{ccc} \mathbb{R}^3 & \longrightarrow & \mathbb{R}^3 \\ \nu & \longrightarrow & \mathbf{f} \\ \nu \dots \dots \dots & & \mathbf{f} \end{array} \quad \mathbf{f} = [\tau] \nu \quad (\text{AI-1})$$

De forma que existe una aplicación unívoca que a cada orientación  $\nu$  le corresponde un vector tensión  $\mathbf{f}$ . (Fig.AI-1)

El versor normal unitario  $\nu$  se considera positivo dirigido hacia fuera de la superficie y queda definido por sus cosenos directores :

$$\begin{array}{ll} \alpha = \cos \alpha^0 & \nu = \begin{pmatrix} \alpha \\ \beta \\ \gamma \end{pmatrix} \\ \beta = \cos \beta^0 & \\ \gamma = \cos \gamma^0 & \end{array} \quad (\text{AI-2})$$

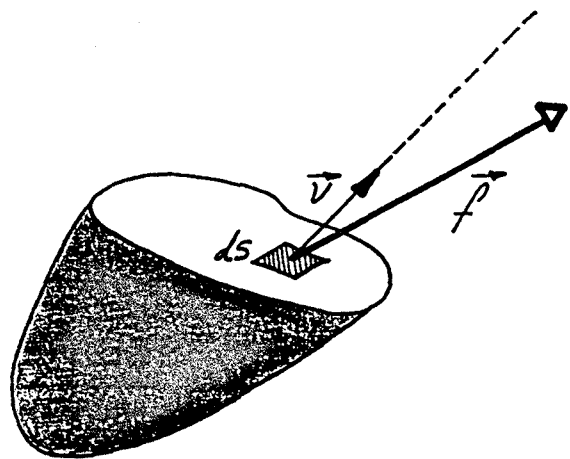
Sobre el vector tensión pueden obtenerse sus componentes intrínsecas:

$$\text{Normal} \quad \sigma_n = (\nu \cdot \mathbf{f}) \cdot \nu \quad (\text{AI-3})$$

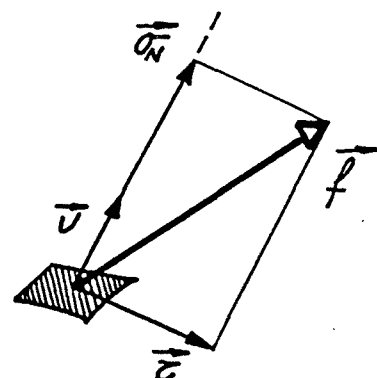
$$\text{Tangencial} \quad \tau = \nu \cdot (\mathbf{f} - \sigma_n \nu) \quad (\text{AI-4})$$

Donde evidentemente se verifica que (Fig.AI-2).

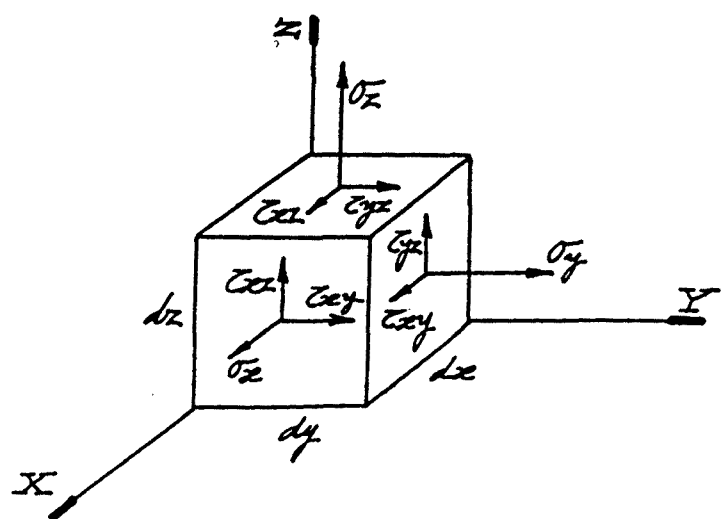
$$f^2 = \sigma_n^2 + \tau^2 \quad (\text{AI-5})$$



**A.I-1** Vector tensión  $\vec{f}$ .



**A.I-2** Componentes intrínsecas de  $\vec{f}$ .



**A.I-3** Tensor tensión  $[\sigma]$ .

Planteando el equilibrio de un paralelepípedo infinitesimal y despreciando las Fuerzas de Volúmen se demuestra el carácter simétrico del tensor tensión (Fig.AI-3).

$$\tau_{ij} = \tau_{ij}$$

(AI-6)

Así, es un tensor simétrico de segundo orden:

$$\vec{f} = \begin{pmatrix} \sigma_x & \tau_{xy} & \tau_{zx} \\ \tau_{xy} & \sigma_y & \tau_{yz} \\ \tau_{zx} & \tau_{yz} & \sigma_z \end{pmatrix} \begin{pmatrix} \alpha \\ \beta \\ \gamma \end{pmatrix}$$

### TENSIONES Y DIRECCIONES PRINCIPALES

Si imponemos que el vector tensión  $\vec{\tau}$ , esté alineado con  $\vec{\nu}$ , es decir no contenga componente tangencial.

$$\vec{f} = \lambda \vec{\nu} \quad (\text{escalar})$$

Pero de (AI-1) y operando :

$$([\tau] - \lambda [I]) \vec{\nu} = 0$$

ó en notación indicial :

$$(f_{ij} - \lambda \delta_{ij}) \nu_j = 0$$

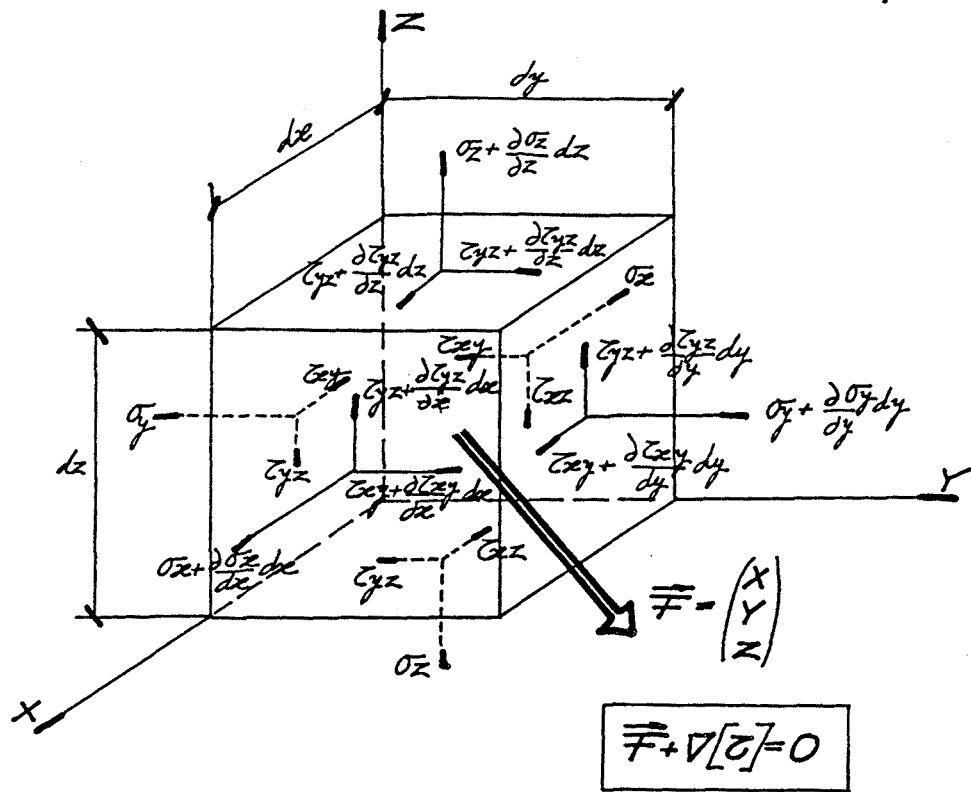
Problema de valores y vectores propios, donde :

$$\begin{vmatrix} \sigma_1 & 0 & 0 \\ 0 & \sigma_2 & 0 \\ 0 & 0 & \sigma_3 \end{vmatrix} \quad \begin{matrix} \sigma_1 & \sigma_2 & \sigma_3 \\ \vec{\nu}_1 & \vec{\nu}_2 & \vec{\nu}_3 \end{matrix} \quad \begin{matrix} \text{Tensiones principales} \\ \text{Direcciones principales} \end{matrix}$$

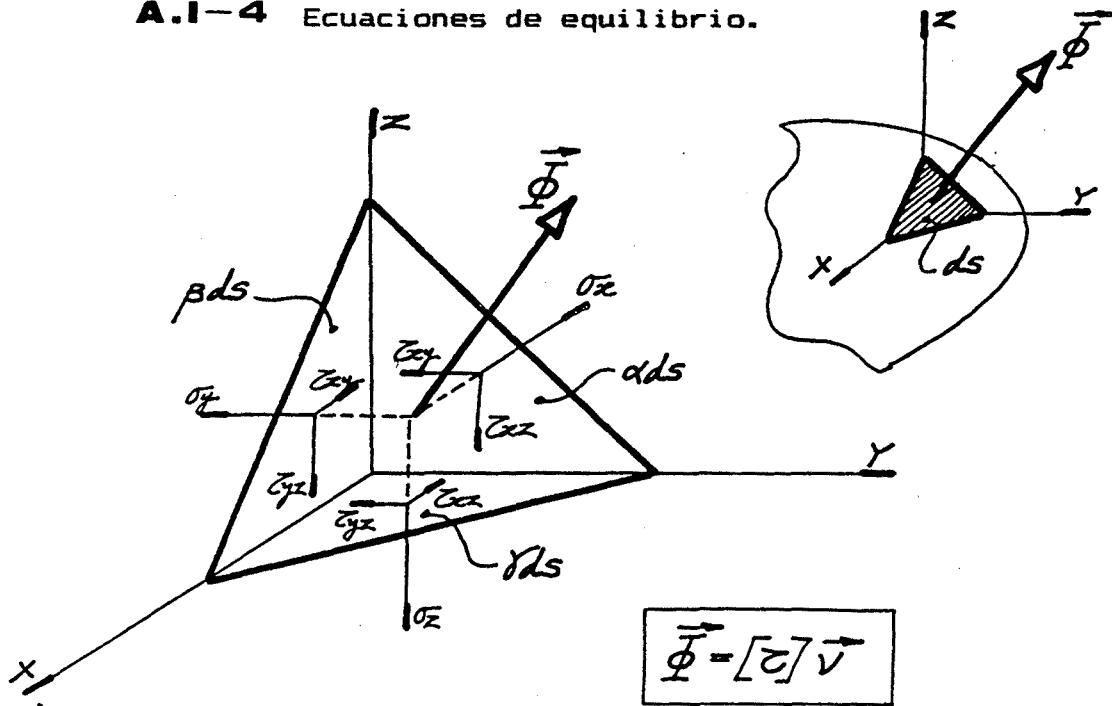
Si están ordenadas :  $\sigma_I > \sigma_{II} > \sigma_{III}$

### ECUACIONES DE EQUILIBRIO

Planteando el equilibrio estático del paralelepípedo elemental en interior del sólido (Fig.AI-4) y siendo X,Y,Z las



**A.I-4** Ecuaciones de equilibrio.



**A.I-5** Ecuaciones de contorno.

componentes de la fuerza por unidad de volumen  $\vec{F}$ :

$$\begin{aligned} X + \frac{\partial \sigma_x}{\partial x} + \frac{\partial \tau_{xy}}{\partial y} + \frac{\partial \tau_{zx}}{\partial z} &= 0 \\ Y + \frac{\partial \tau_{xy}}{\partial x} + \frac{\partial \sigma_y}{\partial y} + \frac{\partial \tau_{yz}}{\partial z} &\rightarrow \vec{F} + \nabla [\tau] = 0 \\ Z + \frac{\partial \tau_{zx}}{\partial x} + \frac{\partial \tau_{yz}}{\partial y} + \frac{\partial \sigma_z}{\partial z} &= 0 \end{aligned} \quad (\text{AI-7})$$

Para un pto perteneciente a la superficie del sólido, siendo  $\bar{X}, \bar{Y}, \bar{Z}$  las componentes de la fuerza por unidad de superficie. (Fig. AII-5) :

$$\begin{aligned} \bar{X} &= \sigma_x \alpha + \tau_{xy} \beta + \tau_{zx} \gamma \\ \bar{Y} &= \tau_{xy} \alpha + \sigma_y \beta + \tau_{yz} \gamma \quad \vec{\Phi} = [\tau] \nu \\ \bar{Z} &= \tau_{zx} \alpha + \tau_{yz} \beta + \sigma_z \gamma \end{aligned} \quad (\text{AI-8})$$

### DEFORMACIONES EN EL MEDIO CONTINUO

El estado de deformación en un punto concreto del sólido queda unívocamente determinado mediante el conocimiento del tensor deformación  $[D]$ . Para cada orientación existe un vector deformación unitaria :

$$[D] = \begin{pmatrix} \epsilon_x & \frac{1}{2}\gamma_{xy} & \frac{1}{2}\gamma_{xz} \\ \frac{1}{2}\gamma_{xy} & \epsilon_y & \frac{1}{2}\gamma_{yz} \\ \frac{1}{2}\gamma_{xz} & \frac{1}{2}\gamma_{yz} & \epsilon_z \end{pmatrix} \quad \vec{\epsilon} = [D] \nu \quad (\text{AI-9})$$

Donde, si  $(u, v, w)$  representan los corrimientos del punto, las componentes de  $[D]$  son :

$$\begin{aligned} \epsilon_x &= \frac{\partial u}{\partial x} & \gamma_{xy} &= \left( \frac{\partial u}{\partial y} + \frac{\partial v}{\partial x} \right) \\ \epsilon_y &= \frac{\partial v}{\partial y} & \gamma_{xz} &= \left( \frac{\partial u}{\partial z} + \frac{\partial w}{\partial x} \right) \\ \epsilon_z &= \frac{\partial w}{\partial z} & \gamma_{yz} &= \left( \frac{\partial v}{\partial z} + \frac{\partial w}{\partial y} \right) \end{aligned} \quad (\text{AI-10})$$

La componente intrínseca de deformación longitudinal uni-

taria :

$$\epsilon_n = \epsilon \cdot \nu$$

(AI-11)

positiva si corresponde a un alargamiento, y la deformación transversal o distorsión angular unitaria  $\gamma$  :

$$\epsilon^2 = \epsilon_n^2 + \gamma^2 \quad (\text{AI-12})$$

El tensor deformación, también admite diagonalización :

$$\begin{bmatrix} \epsilon_1 & 0 & 0 \\ 0 & \epsilon_2 & 0 \\ 0 & 0 & \epsilon_3 \end{bmatrix}$$

$\epsilon_I > \epsilon_{II} > \epsilon_{III}$  si están ordenadas.

y cuyas direcciones principales están exentas de distorsión angular.

Para que el tensor deformación [D] nos proporcione unos corrimientos que no violenten la continuidad del medio, sus términos están interrelacionados mediante las llamadas ecuaciones de compatibilidad o integrabilidad :

$$\begin{aligned} 2 \frac{\partial^2 \epsilon_x}{\partial y \partial z} &= \frac{\partial}{\partial x} \left( -\frac{\partial \gamma_{yz}}{\partial x} + \frac{\partial \gamma_{xz}}{\partial y} + \frac{\partial \gamma_{xy}}{\partial z} \right) & \frac{\partial^2 \gamma_{yz}}{\partial y \partial z} &= \frac{\partial^2 \epsilon_z}{\partial y^2} + \frac{\partial^2 \epsilon_y}{\partial z^2} \\ 2 \frac{\partial^2 \epsilon_y}{\partial z \partial x} &= \frac{\partial}{\partial y} \left( -\frac{\partial \gamma_{xz}}{\partial y} + \frac{\partial \gamma_{xy}}{\partial z} + \frac{\partial \gamma_{yz}}{\partial x} \right) & \frac{\partial^2 \gamma_{xz}}{\partial z \partial x} &= \frac{\partial^2 \epsilon_z}{\partial x^2} + \frac{\partial^2 \epsilon_x}{\partial z^2} \\ 2 \frac{\partial^2 \epsilon_z}{\partial x \partial y} &= \frac{\partial}{\partial z} \left( -\frac{\partial \gamma_{xy}}{\partial z} + \frac{\partial \gamma_{yz}}{\partial x} + \frac{\partial \gamma_{xz}}{\partial y} \right) & \frac{\partial^2 \gamma_{xy}}{\partial x \partial y} &= \frac{\partial^2 \epsilon_x}{\partial y^2} + \frac{\partial^2 \epsilon_y}{\partial x^2} \end{aligned} \quad (\text{AI-13})$$

#### FUERZAS DE VOLUMEN QUE DERIVAN DE UN POTENCIAL

Dada su gran importancia práctica conviene considerar las fuerzas por unidad de volumen  $\mathbf{F}$  de componentes  $X, Y, Z$  tales que :

$$X = -\frac{\partial \Omega}{\partial x} \quad Y = -\frac{\partial \Omega}{\partial y} \quad Z = -\frac{\partial \Omega}{\partial z}$$

(AI-14)

y además  $\Delta \Omega = 0$

Así constituye una función potencial armónica :

$$\Omega = \Omega(x, y, z)$$

y  $X, Y, Z$  sus gradientes respectivos.

La gravitación y la fuerza centrífuga cumplen este requisito. Adicionalmente se verifica :

$$\vec{\nabla} \vec{F} = \text{Div } \vec{F} = 0$$

### RELACION ENTRE TENSIONES Y DEFORMACIONES

En caso de admitirse una relación entre el tensor tensión y deformación que sea lineal, elástica, isotropa e independiente del tiempo y de su historia se verifica :

$$\begin{aligned}\epsilon_x &= \frac{1}{E} (\sigma_x - \mu (\sigma_y + \sigma_z)) & \gamma_{xy} &= \frac{\tau_{xy}}{G} \\ \epsilon_y &= \frac{1}{E} (\sigma_y - \mu (\sigma_x + \sigma_z)) & \gamma_{yz} &= \frac{\tau_{yz}}{G} \\ \epsilon_z &= \frac{1}{E} (\sigma_z - \mu (\sigma_x + \sigma_y)) & \gamma_{xz} &= \frac{\tau_{xz}}{G} \end{aligned} \quad (AI-15)$$

$E$  = Módulo de Elasticidad Longitudinal.

$G$  = Módulo de Elasticidad Transversal.

$\mu$  = Módulo de Poisson.

Las direcciones principales de tensión y deformación son coincidentes en este caso.

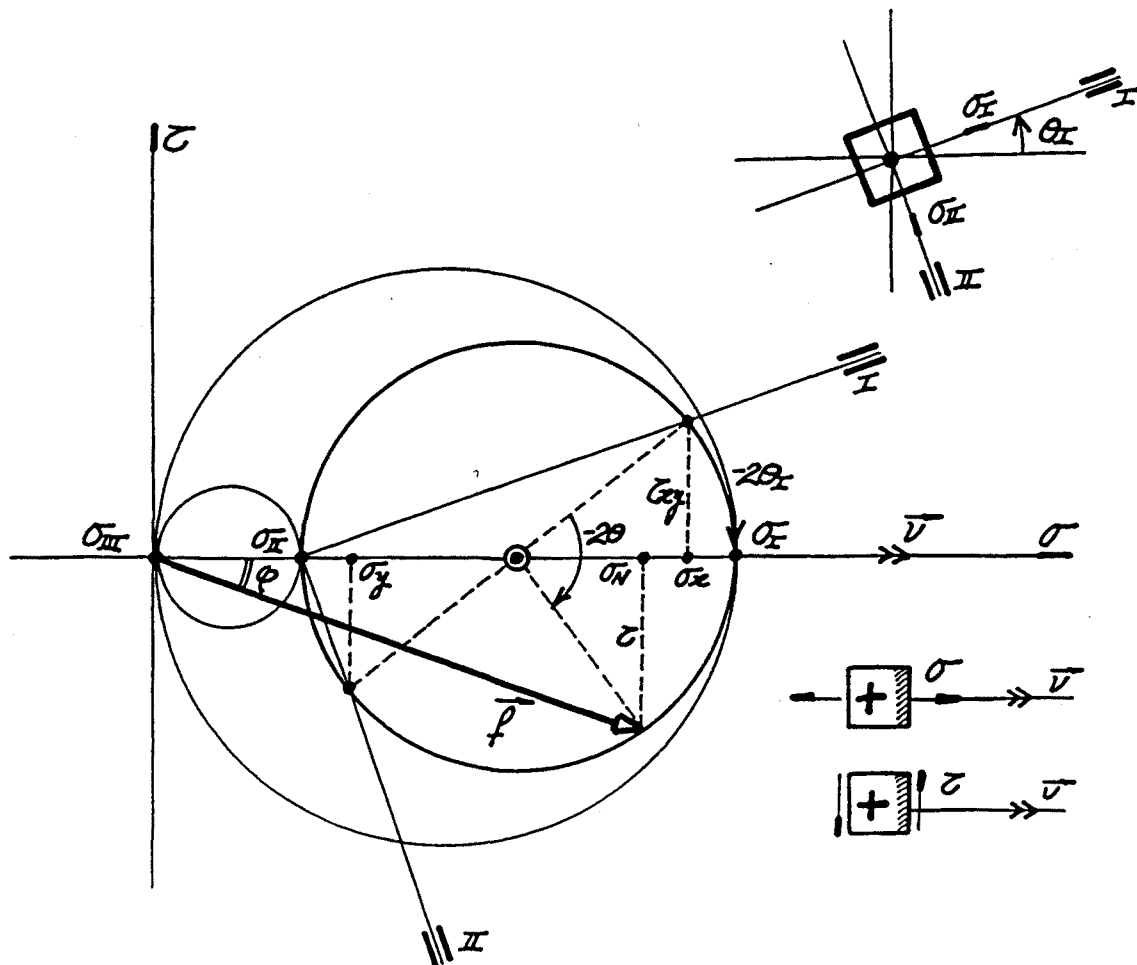
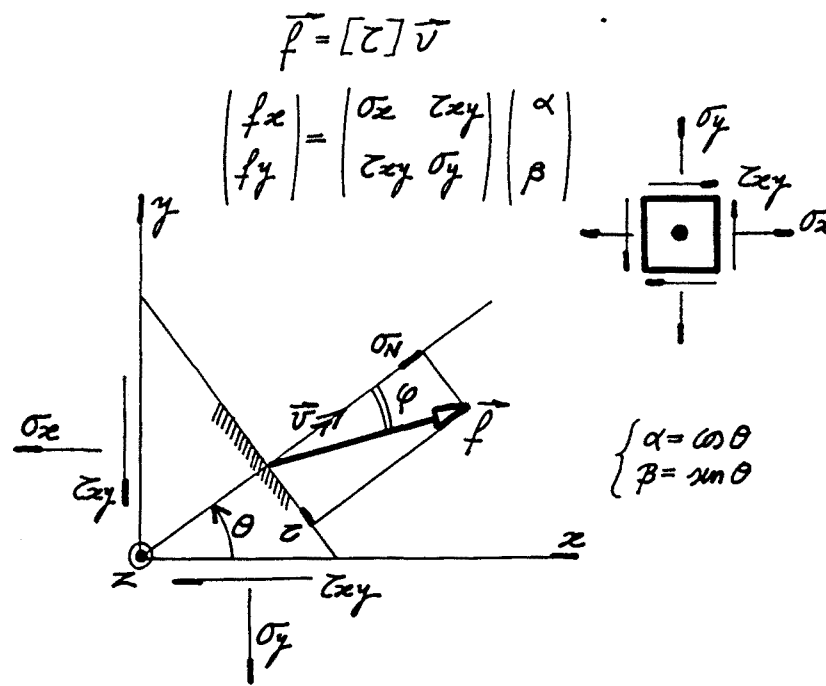
Combinando adecuadamente las ecuaciones (AI-7), (AI-13) y AI-15), y con la notación de los invariantes :

$$S = \sigma_1 + \sigma_2 + \sigma_3 = \sigma_x + \sigma_y + \sigma_z \quad (AI-16)$$

$$\epsilon = \epsilon_1 + \epsilon_2 + \epsilon_3 = \epsilon_x + \epsilon_y + \epsilon_z \quad (AI-17)$$

e imponiendo que las fuerzas de volumen sean nulas, despreciables o constantes se obtienen las ecuaciones de Michell-Bertrami :

$$\begin{aligned}(1+\mu) \Delta \sigma_x + \frac{\partial^2 S}{\partial x^2} &= 0 & (1+\mu) \Delta \tau_{yz} + \frac{\partial^2 S}{\partial y \partial z} &= 0 \\ (1+\mu) \Delta \sigma_y + \frac{\partial^2 S}{\partial y^2} &= 0 & (1+\mu) \Delta \tau_{xz} + \frac{\partial^2 S}{\partial x \partial z} &= 0 \\ (1+\mu) \Delta \sigma_z + \frac{\partial^2 S}{\partial z^2} &= 0 & (1+\mu) \Delta \tau_{xy} + \frac{\partial^2 S}{\partial x \partial y} &= 0 \end{aligned} \quad (AI-18)$$



A.I-6 Estado plano de tensión.

Criterio completo de signos.

Puede adicionalmente demostrarse que cuando  $\text{Div } \vec{F} = 0$ , ó como caso particular las fuerzas de volumen sean nulas, despreciables o ctes., se verifica :

$$\Delta S = 0 \quad (\text{AI-19})$$

$$\Delta \epsilon = 0 \quad (\text{AI-20})$$

Es decir que la distribución de tensiones y deformaciones correspondientes al primer invariante no depende del material.

Sin embargo, ambos invariantes están siempre relacionados por :

$$\epsilon = \frac{1 + 2\mu}{E} S \quad (\text{AI-21})$$

#### ESTADO PLANO DE TENSION

Dada la gran importancia que presenta en Fotoelasticidad conviene desarrollar en detalle todas sus expresiones de gobiernos.

$$\text{Condiciones: } \sigma_z = \tau_{xz} = \tau_{yz} = 0$$

$$\gamma_{xz} = \gamma_{yz} = 0$$

(AI-22)

Admitiéndose, en la práctica, una tensión plana generalizada con valores medios:

$$\tau_{ij} = \frac{1}{e} \int_{-e/2}^{+e/2} \tau_{ij} dz \quad (\text{AI-23})$$

En la Fig. AII-6 se encuentra representado el convenio de signos tensorial y su reflejo en la círculo de Mohr.

El vector tensión :

$$\vec{f} = [\tau] \nu = \begin{pmatrix} \sigma_x & \tau_{xy} \\ \tau_{xy} & \sigma_y \end{pmatrix} \begin{pmatrix} \alpha \\ \beta \end{pmatrix} = \begin{pmatrix} \sigma_x \cos\theta + \tau_{xy} \sin\theta \\ \tau_{xy} \cos\theta + \sigma_y \sin\theta \end{pmatrix} \quad (\text{AI-24})$$

Sus componentes intrínsecas :

$$\sigma_n = \nu \overset{\rightarrow}{f} = \frac{\sigma_x + \sigma_y}{2} + \frac{\sigma_x - \sigma_y}{2} \cos 2\theta + \tau_{xy} \sin 2\theta \quad (\text{AI-25})$$

$$\tau = \nu_1 \overset{\rightarrow}{f} = \frac{\sigma_x - \sigma_y}{2} \sin 2\theta - \tau_{xy} \cos 2\theta \quad (\text{AI-26})$$

En el caso particular que sean direcciones principales :

$$\sigma_n = \frac{\sigma_1 + \sigma_2}{2} + \frac{\sigma_1 - \sigma_2}{2} \cos 2\theta \quad (\text{AI-27})$$

$$\tau = \frac{\sigma_1 - \sigma_2}{2} \sin 2\theta \quad (\text{AI-28})$$

Igualmente puede observarse de (AI-28) que la tensión constante máxima en el plano xy, se presenta en superficies cuyos versores normales están a  $45^\circ$  de las direcciones principales y su valor es :

$$\tau_{xy \max} = \frac{\sigma_1 - \sigma_2}{2} \quad (\text{AI-29})$$

La diagonalización del tensor tensión nos conduce a :

$$\begin{vmatrix} \sigma_x & \tau_{xy} \\ \tau_{xy} & \sigma_y \end{vmatrix} \rightarrow \begin{vmatrix} \sigma_1 & 0 \\ 0 & \sigma_2 \end{vmatrix} \quad \begin{aligned} \sigma_1 &= \frac{\sigma_x + \sigma_y}{2} + \sqrt{\left(\frac{\sigma_x - \sigma_y}{2}\right)^2 + \tau_{xy}^2} \\ \sigma_2 &= \frac{\sigma_x + \sigma_y}{2} - \sqrt{\left(\frac{\sigma_x - \sigma_y}{2}\right)^2 + \tau_{xy}^2} \end{aligned} \quad (\text{AI-30})$$

Y el ángulo que forman los ejes de referencia respecto a las direcciones principales:

$$\tan 2\theta = \frac{2 \tau_{xy}}{\sigma_x - \sigma_y} \quad (\text{AI-31a})$$

o también:

$$\tan \theta = \frac{\tau_{xy}}{\sigma_x - \sigma_{II}} \quad (\text{AI-31b})$$

Las ecuaciones de equilibrio para un pto. interior :

$$X + \frac{\partial \sigma_x}{\partial x} + \frac{\partial \tau_{xy}}{\partial y} = 0 \quad (\text{AI-32a})$$

$$Y + \frac{\partial \tau_{xy}}{\partial x} + \frac{\partial \sigma_y}{\partial y} = 0 \quad (\text{AI-32b})$$

y de contorno:  $\bar{X} = \sigma_x \alpha + \tau_{xy} \beta$   
 $\bar{Y} = \tau_{xy} \alpha + \sigma_y \beta$   
 $\bar{Z} = 0$  (AI-32b)

Las ecuaciones de compatibilidad de las deformaciones :

$$\frac{\partial^2 \epsilon_z}{\partial y^2} = \frac{\partial^2 \epsilon_z}{\partial x^2} = \frac{\partial^2 \epsilon_z}{\partial x \partial y} = 0 \quad (\text{AI-33a})$$

$$\frac{\partial^2 \gamma_{xy}}{\partial x \partial y} = \frac{\partial^2 \epsilon_y}{\partial x^2} + \frac{\partial^2 \epsilon_x}{\partial y^2} \quad (\text{AI-33b})$$

y las fórmulas de relación tensión-deformación :

$$\epsilon_x = \frac{1}{E} (\sigma_x - \mu \sigma_y)$$

$$\epsilon_y = \frac{1}{E} (\sigma_y - \mu \sigma_x) \quad \gamma_{xy} = \frac{\tau_{xy}}{G}$$

$$\epsilon_z = -\frac{\mu}{E} (\sigma_x + \sigma_y) \quad (\text{AI-34})$$

De las ecuaciones de equilibrio (AI-32a), puede obtenerse la siguiente relación :

$$\frac{\partial^2 \sigma_x}{\partial x^2} + 2 \frac{\partial^2 \tau_{xy}}{\partial x \partial y} + \frac{\partial^2 \sigma_y}{\partial y^2} = -\frac{\partial X}{\partial x} - \frac{\partial Y}{\partial y} \quad (\text{AI-35})$$

Que en el caso  $F = \text{cte. } 6$  nula :

$$\frac{\partial^2 \sigma_x}{\partial x^2} + 2 \frac{\partial^2 \tau_{xy}}{\partial x \partial y} + \frac{\partial^2 \sigma_y}{\partial y^2} = 0 \quad (\text{AI-36})$$

$$\frac{\partial^2 \sigma_x}{\partial x^2} = \frac{\partial^2 \sigma_y}{\partial y^2} = -\frac{\partial^2 \tau_{xy}}{\partial x \partial y} \quad (\text{AI-37})$$

Estas dos últimas expresiones nos indican como están relacionados los términos del tensor tensión [  $\tau$  ], y por tanto sus variaciones en el plano no son independientes entre si.

Haciendo intervenir la segunda ecuación de compatibilidad (AI-33b) y las relaciones tensión-deformación (AI-34)

$$\delta \left( \frac{\partial^2}{\partial x^2} + \frac{\partial^2}{\partial y^2} \right) (\sigma_x + \sigma_y) = - (1 + \mu) \left( \frac{\partial X}{\partial x} + \frac{\partial Y}{\partial y} \right)$$

$$\Delta(\sigma_x + \sigma_y) = - (1 + \mu) \operatorname{Div} \vec{F} \quad (\text{AI-38})$$

Que en el caso frecuente de  $\operatorname{Div} \vec{F} = 0$

$$\Delta(\sigma_x + \sigma_y) = 0 \quad (\text{AI-39})$$

Dicha ecuación Laplaciana, acompañada de las expresiones (AI-37), nos indican que la distribución de tensiones en el plano es independiente del módulo de Poisson y por ende del material.

Debe aclararse que en la obtención de la ecuación (AI-38), no ha intervenido la ecuación de compatibilidad (AI-33a). Ello implica que adicionalmente :

$$\epsilon_z = -\frac{\mu}{F} (\sigma_x + \sigma_y)$$

debería anularse en sus segundas derivadas. Esta condición no siempre se verifica en los casos reales. No obstante, su influencia es baja.

En el caso de  $\vec{F} = \text{cte.}$ , se deducen también las ecuaciones de Michell-Beltrami reducidas :

$$\begin{aligned} \Delta \sigma_x + \frac{\partial^2 S}{\partial x^2} &= 0 \\ \Delta \sigma_y + \frac{\partial^2 S}{\partial y^2} &= 0 \quad S = \sigma_1 + \sigma_2 = \sigma_x + \sigma_y \\ \Delta \tau_{xy} + \frac{\partial^2 S}{\partial x \partial y} &= 0 \end{aligned} \quad (\text{AI-39})$$

Donde, a diferencia de (AI-18), no interviene el módulo de Poisson.

Estas consideraciones adquieren una gran importancia en la Teoría de Modelos.

#### ESTADO PLANO DE DEFORMACION

Caso de gran interés en Fotoelasticidad, sigue prácticamente las mismas ecuaciones de gobierno anteriores.

Condiciones :  $\epsilon_z = \gamma_{xy} = \gamma_{yz} = 0$

$$\tau_{xz} = \tau_{yz} = 0$$

Se verifica que el eje z es siempre dirección principal.

$$\sigma_z = \sigma_3 = \mu (\sigma_x + \sigma_y) = \mu (\sigma_1 + \sigma_2) \quad (\text{AI-40})$$

$$\sigma_1 = \frac{\sigma_x + \sigma_y}{2} + \sqrt{\left(\frac{\sigma_x - \sigma_y}{2}\right)^2 + \tau_{xy}^2}$$

$$\sigma_2 = \frac{\sigma_x + \sigma_y}{2} - \sqrt{\left(\frac{\sigma_x - \sigma_y}{2}\right)^2 + \tau_{xy}^2} \quad (\text{AI-41})$$

Ecuaciones de equilibrio y de contorno :

$$X + \frac{\partial \sigma_x}{\partial x} + \frac{\partial \tau_{xy}}{\partial y} = 0 \quad \bar{X} = \sigma_x \alpha + \tau_{xy} \beta \quad (\text{AI-42})$$

$$Y + \frac{\partial \tau_{xy}}{\partial x} + \frac{\partial \sigma_y}{\partial y} = 0 \quad \bar{Y} = \tau_{xy} \alpha + \sigma_y \beta$$

$$\bar{Z} = \sigma_z \gamma \quad (\text{AI-43})$$

Las ecuaciones de compatibilidad, quedan reducidas a solo :

$$\frac{\partial^2 \gamma_{xy}}{\partial x \partial y} = \frac{\partial^2 \epsilon_y}{\partial x^2} + \frac{\partial^2 \epsilon_x}{\partial y^2} \quad (\text{AI-44})$$

y las relaciones tensión-deformación :

$$\epsilon_x = \frac{1+\mu}{E} ((1-\mu) \sigma_x - \mu \sigma_y) \quad \gamma_{xy} = \frac{\tau_{xy}}{G}$$

$$\epsilon_y = \frac{1+\mu}{E} ((1-\mu) \sigma_y - \mu \sigma_x) \quad (\text{AI-45})$$

Combinando las expresiones (AI-42) (AI-44) y (AI-45) :

$$\overrightarrow{\text{Div } F} = 0 \quad \Delta (\sigma_x + \sigma_y) = 0 \quad (\text{AI-46})$$

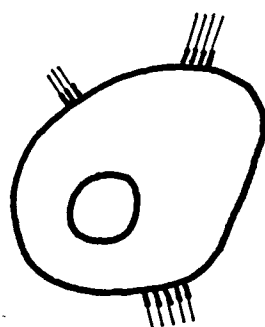
también las ecuaciones de Michell-Beltrami reducidas :

$$\Delta \sigma_x + \frac{\partial^2 S}{\partial x^2} = 0$$

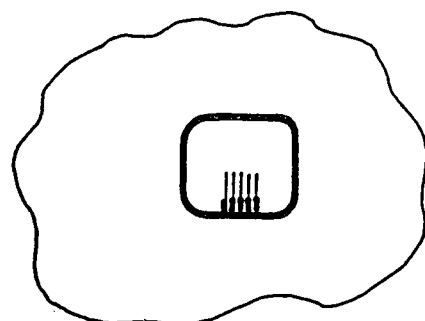
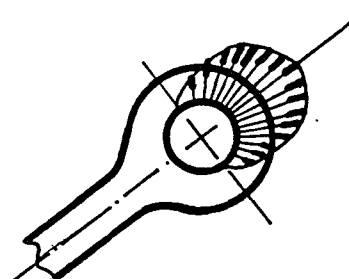
$$\Delta \sigma_y + \frac{\partial^2 S}{\partial y^2} = 0 \quad S = \sigma_1 + \sigma_2 = \sigma_x + \sigma_y$$

$$\Delta \tau_{xy} + \frac{\partial^2 S}{\partial x \partial y} = 0 \quad (\text{AI-47})$$

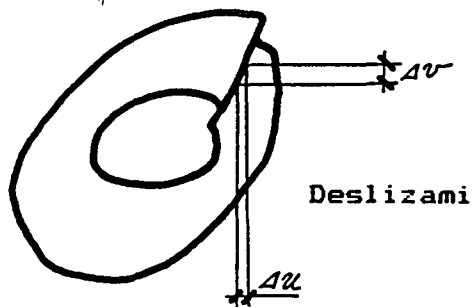
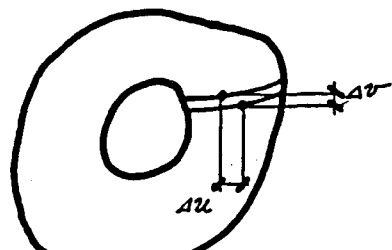
Nótese que cuando  $\overrightarrow{\text{Div } F} = 0$  por (AI-46) (AI-47) la distribución de tensiones no depende del módulo de Poisson.



**A.I-7a** Caso I.



**A.I-7b** Caso II.



Eliminación

**A.I-8**

Dislocaciones provocadas para determinar  
las correcciones necesarias en el caso II.

## FUNCION TENSION O DE AIRY. DISLOCACIONES.

En el estado plano de tensión se comprueba que el conocimiento del tensor tensión :

$$\sigma_x \quad \sigma_y \quad \tau_{xy}$$

se reduce a una sola variable escalar. (AI-35) (AI-38). Si consideramos el caso de que  $\bar{F}$  derive de potencial, e introducimos una función auxiliar tal que :

$$\sigma_x = \frac{\partial^2 \Psi}{\partial y^2} \quad \sigma_y = \frac{\partial^2 \Psi}{\partial x^2} \quad \tau_{xy} = -\frac{\partial^2 \Psi}{\partial x \partial y} - X_y - Y_x \quad (\text{AI-48})$$

sustituyendo en (AI-39) se comprueba que es una función potencial biarmónica :

$$\Delta \Delta \Psi = 0 \quad (\text{AI-49})$$

Suponiendo, por simplicidad, nulas las fuerzas de volumen las condiciones de contorno (AI-32b) quedan (Fig. AI-7) :

$$\begin{aligned} \operatorname{sen} \theta &= \frac{-dx}{dl} & X &= \frac{\partial^2 \Psi}{\partial y^2} \frac{dy}{dl} + \frac{\partial^2 \Psi}{\partial x \partial y} \frac{dx}{dl} = \frac{\partial}{\partial l} \left( \frac{\partial \Psi}{\partial y} \right) \\ \cos \theta &= \frac{dy}{dl} & Y &= -\frac{\partial^2 \Psi}{\partial x \partial y} \frac{dy}{dl} - \frac{\partial^2 \Psi}{\partial x^2} \frac{dx}{dl} = \frac{\partial}{\partial l} \left( \frac{\partial \Psi}{\partial x} \right) \end{aligned} \quad (\text{AI-50})$$

Es decir si no hay carga en el contorno, el valor de resta constante en el mismo.

Eligiendo una linea de integración de A a B sobre el contorno de la pieza :

$$\begin{aligned} \int_a^b X dl &= \left[ \frac{\partial \Psi}{\partial y} \right]_a^b = P + \text{Cte}_1 \\ \int_a^b Y dl &= \left[ \frac{\partial \Psi}{\partial x} \right]_a^b = Q + \text{Cte}_2 \end{aligned} \quad (\text{AI-51})$$

Siendo P y Q las resultantes de los esfuerzos exteriores aplicados al contorno desde el punto inicial A hasta el final B .

En el caso de A = B, las integrales (AI-51) se convierten en cíclicas . Se demuestra que la unicidad en la solución

implica que el valor de la resultante en un contorno cerrado debe ser cero :

$$\oint X \, dl = 0$$

$$\oint Y \, dl = 0 \quad (\text{AI-52})$$

Esta condición se cumple en un modelo simplemente conexo por el solo hecho de estar en equilibrio (Fig.AI-7a).

No puede afirmarse lo mismo ante la existencia de taladros o ranuras de sujeción cerradas (Fig.AI-7b). La resolución correcta de estos casos obliga a la realización de ensayos adicionales denominados DISLOCACIONES (Fig.AI-8).

En la práctica se prescinde de estas correcciones y se utilizan directamente los resultados obtenidos en el examen fotoelástico. En rigor, solo es exacto con igualdad entre los coeficientes de Poisson del modelo y del prototipo, pero en el caso de ser similares el error cometido es despreciable. [Ref.2]

## NOMENCLATURA

A	Amplitud.
$C_\epsilon$	Cte. fotoelástica deformacional del material.
$C_\sigma$	Cte. fotoelástica tensional del material.
[D]	Tensor deformación.
e	Espesor del modelo.
E	Módulo de Elasticidad longitudinal.
$F_\epsilon$	Constante fotoelástica deformacional del modelo.
$F_\sigma$	Constante fotoelástica tensional del modelo.
$\bar{F}$	Fuerza intensiva de volumen.
$\vec{F}$	Vector tensión.
G	Módulo de Elasticidad transversal.
I	Intensidad luminosa.
L	Longitud de onda.
M	Orden entero $M = 0, 1, 2 \dots$
n	Orden fraccionario $0 \leq n < 1$
$n'$	Orden fraccionario parcial $0 \leq n' < 0.5$
N	Orden de Isocromática, de franja o de extinción.
Q	Figura de Merito del material.
r	Indice óptico de refracción.
$r_1 r_2 r_3$	Indices principales de refracción.
R	Diferencia de tensiones prales. ordenadas.
S	Suma invariante de tensiones normales.
$S_{x,y}$	Derivadas direccionales.
$\Delta t$	Retardo óptico temporal.
$T_0$	Umbral de binarización.
V	Tensión eléctrica.
X	Retardo absoluto incognita.
Y	Operador lógico.

$Z$	Nivel genérico de digitización.
$Z^*$	Idem. con corrección de respuesta.
$Z''$	Idem. registro experimental.
$\alpha^0 \beta^0 \gamma^0$	Angulos directores de $\vec{v}$ .
$\alpha \beta \gamma$	Cosenos directores de $\vec{v}$ .
$\beta$	Angulo entre eje polarizador y $\sigma_1$ ó $\sigma_2$ .
$\gamma$	Deformación transversal unitaria.
$\delta$	Retardo óptico longitudinal absoluto.
$\Delta$	Operador Laplaciano / Incremento.
$\epsilon$	Deformación longitudinal unitaria.
$\epsilon_1 \epsilon_2 \epsilon_3$	Deformaciones principales.
$\epsilon_I \geq \epsilon_{II} \geq \epsilon_{III}$	Deformaciones principales ordenadas.
$\theta$	Angulo entre ejes referencia y direc. prales.
$\mu$	Módulo de Poisson.
$\nu$	Versor unitario de orientación espacial.
$\nu_1 \nu_2 \nu_3$	Direcciones principales.
$[\tau]_{xyz}$	Tensor tensión en ejes de referencia x y z.
$\sigma_n$	Componente intrínseca normal de $\vec{f}$ .
$\sigma_1 \sigma_2 \sigma_3$	Tensiones principales.
$\sigma_I \geq \sigma_{II} \geq \sigma_{III}$	Tensiones principales ordenadas.
$\sigma_p \geq \sigma_q$	Tensiones principales ordenadas en el plano.
$\tau$	Componente intrínseca tangencial de $\vec{f}$ .
$\phi$	Retardo óptico angular.
	/Angulo de isóclina; entre eje horizontal y $\sigma_1$ ó $\sigma_2$ .
$\phi^*$	Idem. corregido; entre eje horizontal y $\sigma_p$ .
$\Phi$	Fuerza intensiva de superficie.
$\Psi$	Función tensión / Función de Airy.
$\Omega$	Función potencial armónica / Velocidad angular.

---

**ANEXO II**  
**BASES DE LA FOTOELASTICIDAD**

---

## A. II BASES DE LA FOTOELASTICIDAD

En este apartado se hace un breve resumen de las ecuaciones básicas que rigen el fenómeno fotoelástico, con especial incidencia en los aspectos utilizados por la aportación original de la Tesis, tales como la respuesta óptica en función del espectro incidente.

### ANISOTROPIA OPTICA

Ciertos cuerpos carecen de isotropía óptica y la velocidad de propagación de la onda en el medio es función de su dirección de incidencia y plano de polarización.

Así, su índice de refracción :

$$r = \frac{c}{v} \quad \begin{aligned} c &= \text{Velocidad en el vacío.} \\ v &= \text{Velocidad en el medio.} \end{aligned}$$

(AII-1)

depende de la dirección de propagación.

Esta propiedad puede expresarse mediante el elipsoide de índices o de Fresnel (Fig. AII-1).

Dicho modelo presupone la existencia de tres índices principales de refracción :

$$r_1 \quad r_2 \quad r_3$$

asociados a tres direcciones principales X Y Z tales que :

$$\frac{x^2}{r_1} + \frac{y^2}{r_2} + \frac{z^2}{r_3} = 1 \quad (\text{AII-2})$$

En el caso de que la onda tenga una incidencia de cosenos directores :

$$\vec{\nu} = \begin{bmatrix} \alpha \\ \beta \\ \gamma \end{bmatrix}$$

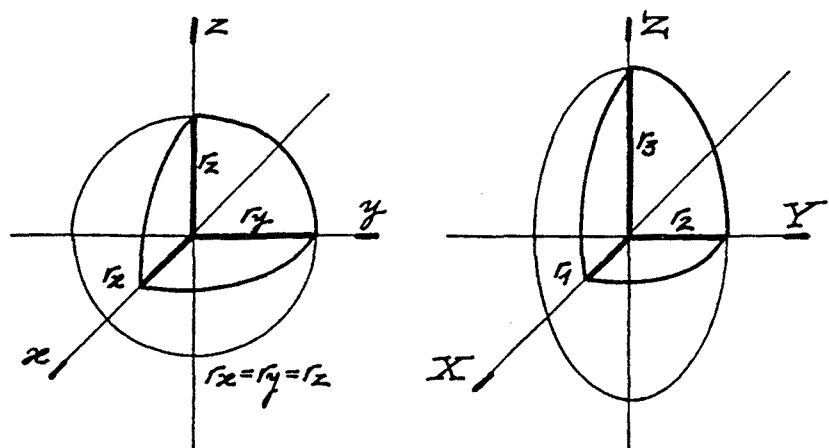
la intersección del plano asociado a la dirección  $\vec{\nu}$  con el elipsoide de Fresnel, define una elipse cuyos ejes nos proporcionan dos nuevos índices denominados (Fig. AII-2) :

$$r' = \text{índice lento} \quad r' > r''$$

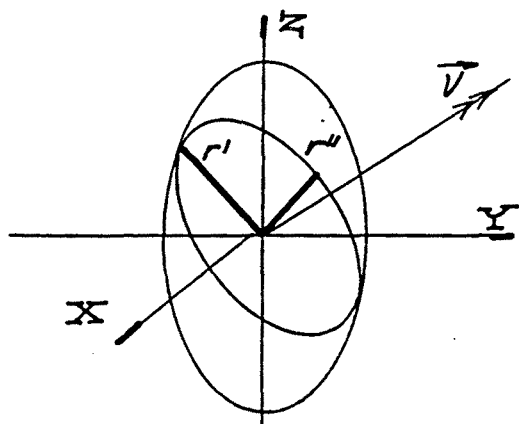
$$r'' = \text{índice rápido}$$

Isotropia ópt.

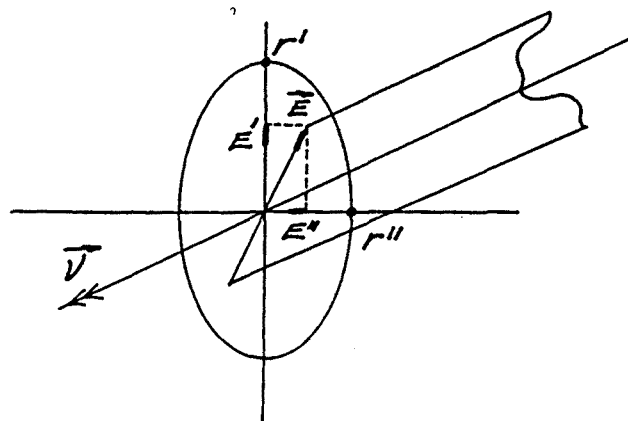
Anisotropia ópt.



A.II-1 Elipsoide de índices o de Fresnel.



A.II-2 Elipse de índices asociada a  $\vec{v}$ .



A.II-3 Dirección de incidencia  $\vec{v}$  y  
plano de polarización  $\vec{E}$ .

Así toda onda con dirección  $\vec{v}$  y plano de polarización  $\vec{E}$  puede descomponerse en dos planos de propagación y con sus dos velocidades de avance diferentes.

$$v'' > v' \quad v' = \frac{c}{r'} \quad v'' = \frac{c}{r''}$$

Y si el camino óptico sobre el medio es  $e$  y el fenómeno es constante en todo su recorrido, existirá un retardo óptico (Fig. AII-3) :

$$t' = \frac{e}{v'} = \frac{e r'}{c} \quad t'' = \frac{e r''}{c}$$

En tiempo:

$$\Delta t = t' - t'' = (r' - r'') e / c \quad (\text{AII-3})$$

En ángulo:

$$\phi = \frac{2\pi (r' - r'') e}{L} \quad (\text{AII-4})$$

En longitud:

$$\delta = (r' - r'') e \quad (\text{AII-5})$$

La recomposición de las dos ondas producirán en general, una luz elípticamente polarizada respecto a la original incidente.

La Fotoelasticidad pone de relieve dicho fenómeno mediante la creación de franjas de interferencia sobre medios birefringentes accidentales.

#### ECUACIONES DE GOBIERNO

Los primeros ensayos experimentales realizados por Seebeck (1813) y Brewster (1816) constataron que ciertos materiales presentaban anisotropía óptica al ser sometidos a fuerzas mecánicas externas, observando una relación de tipo lineal causa-efecto en un amplio intervalo.

La primera formulación de tipo cuantitativo se debe a Neumann (1841) relacionando las deformaciones y los índices de refracción, coincidentes en sus direcciones principales:

$$r_1 = r_0 + F(\epsilon_I, \epsilon_{II}, \epsilon_{III})$$

$$r_2 = r_0 + F(\epsilon_I, \epsilon_{II}, \epsilon_{III})$$

$$r_3 = r_0 + F(\epsilon_I, \epsilon_{II}, \epsilon_{III})$$

$r_0$  índice del material

opticamente isótropo.

Donde la función  $F$  debe anularse para:

$$\epsilon_I = \epsilon_{II} = \epsilon_{III} \longrightarrow r_i = r_o$$

Y a la vista del elipsoides de índices, debe ser simétrica respecto la segunda y tercera variable. Por tanto :

$$r_i - r_o = a_1 \epsilon_i + a_2 (\epsilon_j + \epsilon_k)$$

En particular y según (A-II-5) el retardo  $\delta$  :

$$\delta = (r_i - r_o)e = (a_1 - a_2)(\epsilon_I - \epsilon_{II})e = C_\epsilon (\epsilon_I - \epsilon_{II})e \quad (\text{AII-6})$$

Donde  $C_\epsilon$  cte. fotoelástica deformacional del material.

Pero es Maxwell (1853) quien, independientemente de Neumann, relaciona las tensiones y los índices de refracción:

$$r_i - r_o = C_1 \sigma_I + C_2 (\sigma_{II} - \sigma_{III})$$

$$r_2 - r_o = C_1 \sigma_{II} + C_2 (\sigma_{III} - \sigma_I)$$

$$r_3 - r_o = C_1 \sigma_{III} + C_2 (\sigma_I - \sigma_{II})$$

Operando

$$r_i - r_2 = C_\sigma (\sigma_I - \sigma_{II})$$

$$r_2 - r_3 = C_\sigma (\sigma_{II} - \sigma_{III})$$

$$r_i - r_3 = C_\sigma (\sigma_I - \sigma_{III})$$

(AII-7)

Donde  $C_\sigma$  cte. fotoelástica tensional del material.

En particular y según (AII-5) el retardo óptico  $\delta$  :

$$\delta = (r_i - r_2)e = C_\sigma (\sigma_I - \sigma_{II})e = C_\sigma (\sigma_p - \sigma_q)e \quad (\text{AII-8})$$

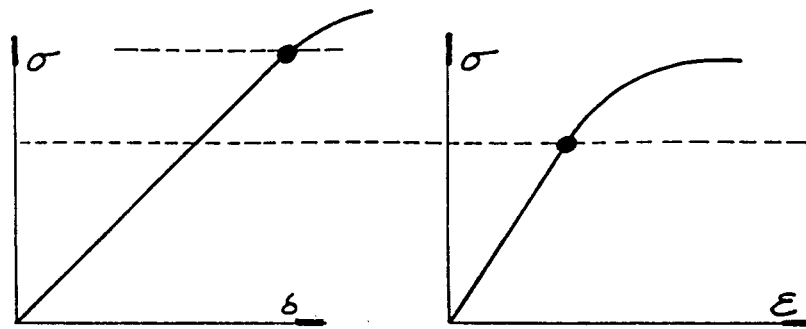
Con linealidad elástica entre tensiones y deformaciones, la experiencia nos confirma que existe linealidad óptica si multanea con ambas. Además, al verificarse que :

$$\sigma_I - \sigma_{II} = (\epsilon_I - \epsilon_{II}) \frac{E}{1 + \mu} \quad (\text{AII-9})$$

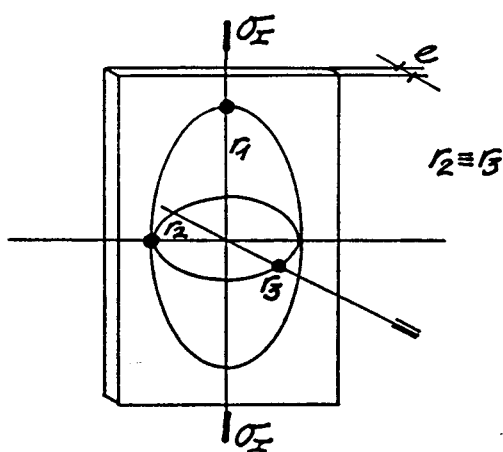
Queda :

$$C_\epsilon = \frac{E}{1 + \mu} C_\sigma \quad (\text{AII-10})$$

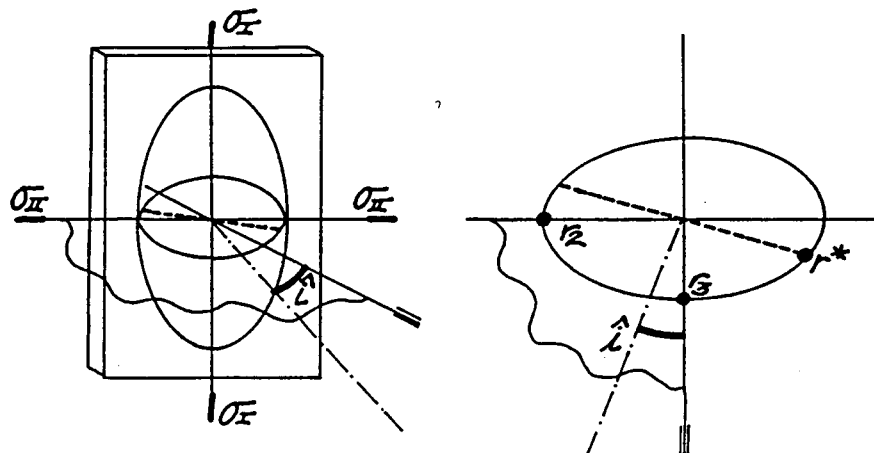
No obstante, al sobrepasar el límite de elasticidad solo las relaciones de Maxwell siguen siendo válidas en un cierto



**A.II-4** Relación  $\sigma - \varepsilon - \delta$  (según Frocht y Thomson)



**A.II-5** Elipsoide de Fresnel. Caso tensión uniaxial.



**A.II-6** Idem. Tensión biaxial e incidencia oblicua.

to margen (Fig. AII-4), y preferibles a las de Neumann, con excepción de la Fotoelastичidad por reflexión.

En un caso uniaxial de tensión, las ecuaciones de Maxwell quedan (Fig.AII-5) :

$$\sigma_{II} = \sigma_{III} = 0 \quad \sigma_I = \sigma$$

y en el elipsoide de Fresnel se verifica :

$$r_2 = r_3 \\ r_1 - r_2 = C_\sigma \sigma_I$$

siendo I el eje lento de avance.

Por (AII-8) :

$$\delta = C_\sigma \sigma_I e = C_\sigma \sigma e$$

Si hubiese sido una compresión uniaxial y por tanto de signo negativo :  $\sigma_I = \sigma_{II} = 0 > \sigma_{III} = -\sigma$

$$\delta = C_\sigma (0 - \sigma_{III}) e = C_\sigma \sigma e$$

siendo III el eje rápido.

En conclusión, el retardo óptico es siempre positivo, con excepción de algunas sustancias de cte.  $C_\sigma$  negativa.[Ref.2]

Para un estado biaxial de tensión y con la incidencia formando un ángulo  $i$  con la normal y contenida sobre II/III (Fig.AII-6), los índices de refracción son  $r_1$  y  $r^*$ . Siendo  $r^*$  fácilmente calculable mediante :

$$\frac{r^{*2} \cos^2 i}{r_2^2} + \frac{r^{*2} \cos^2 i}{r_3^2} = 1$$

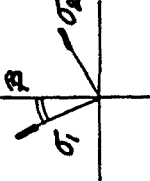
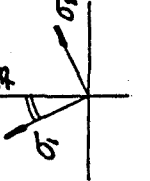
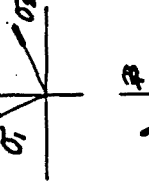
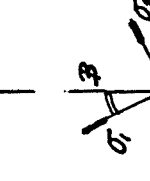
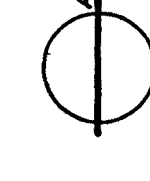
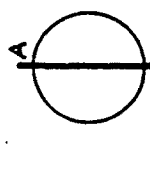
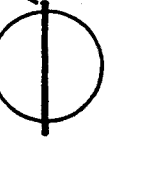
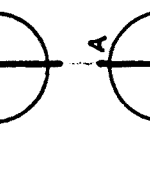
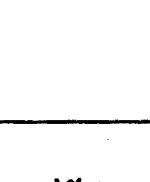
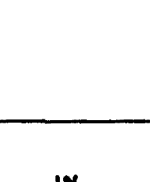
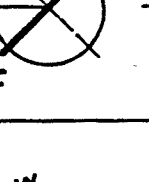
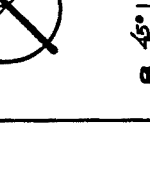
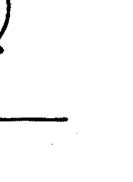
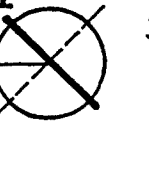
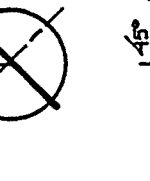
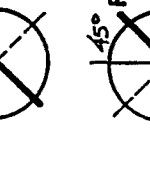
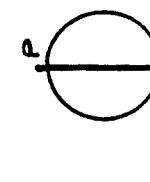
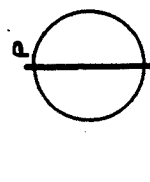
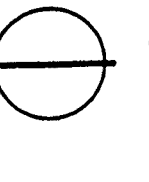
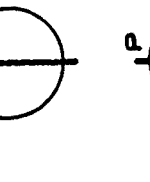
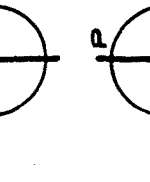
Operando queda [Ref.7] [Ref.8] [Ref.11] :

$$\delta = C_\sigma (\sigma_I - \sigma_{II} \cos^2 i) e \sec i \quad (\text{AII-11})$$

Fórmula fundamental para incidencia oblicua sobre una dirección principal  $\sigma_{II}$  y ángulo de inclinación  $i$  respecto la normal.

#### TEORIA DE MODELOS

La Fotoelastичidad puede emplearse directamente sobre la pieza real si esta ya es ópticamente birrefringente (vidrio, plásticos, composites.... etc. ).

POLARIZADOR	LAMINA $\lambda/4$	ANALIZADOR	FONDO	INTENSIDAD
MODELO	LAMINA $\lambda/4$			
			OSC.	$I_o \sin^2 2\beta \sin^2 N\pi$
			CLARO	$I_o (1 - \sin^2 2\beta \sin^2 N\pi)$
			OSC.	$I_o \sin^2 N\pi$
			CLARO	$I_o (1 - \sin^2 N\pi)$
			CLARO	$I_o (1 - \sin^2 N\pi)$
			OSC.	$I_o \sin^2 N\pi$
				
				
				
				
				
				
				
				
				
				
				
				
				
				
				
				
				
				
				
				
				
				
				
				

A. II-7 Posiciones relativas.

Pero en general, es preferible por razones de precisión y comodidad la manufactura de un modelo que siga una semejanza con la pieza real o prototipo.

La semejanza total no será siempre posible [Ref.12] :

$$\sigma, L, F, p, \epsilon, E, \mu$$

En 3-D, es difícil hacer coincidir el coeficiente de Poisson del prototipo y el del modelo, ya que este es siempre cercano a  $\mu = 0.5$  para los polímeros utilizados.

En 2-D, con la condición de que las fuerzas volumétricas sean nulas, ctes. o deriven de potencial, y además la resultante de cargas sobre contornos conexos sea nula, la influencia de  $\mu$  es inexistente. Adicionalmente, la gama de materiales fotoelásticos disponibles a temperatura ambiente, nos permite aproximar ambos coeficientes.

En general, si  $\mu_M = \mu_P$  , [Ref.7] [Ref.14] :

$$\sigma_P = \sigma_M F_P / F_M (L_M / L_P)^2 \quad (\text{AII-12})$$

Y con cargas repartidas o presiones :

$$\sigma_P = \sigma_M P_P / P_M \quad (\text{AII-13})$$

En 2D, para los espesores :

$$e_M / e_P = L_M / L_P \quad \sigma_P = \sigma_M F_P / F_M L_M / L_P e_M / e_P \quad (\text{AII-14})$$

Para que exista una similitud total debe haber una correspondencia entre deformaciones unitarias:

$$\epsilon_M = \epsilon_P$$

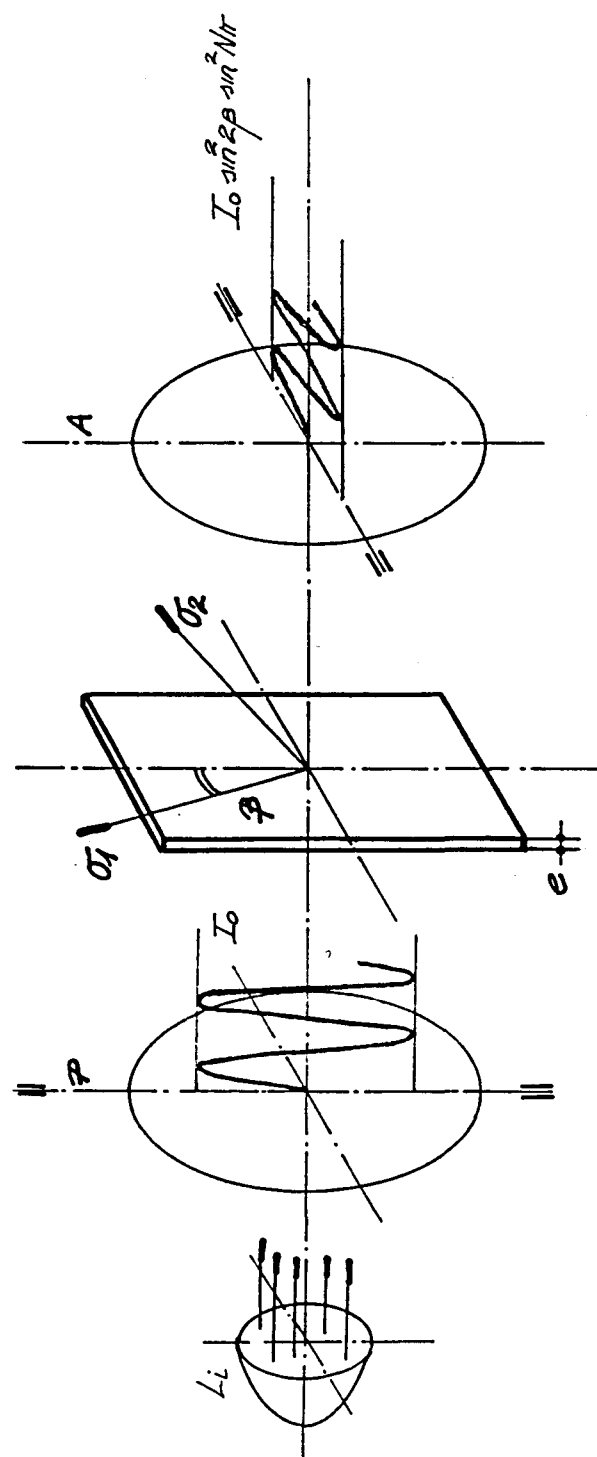
si  $\mu_M = \mu_P$  , implica:

$$F_M = F_P (L_M / L_P)^2 E_M / E_P \quad (\text{AII-15})$$

Es decir la escala de fuerzas y longitudes debería estar relacionada por el cociente entre módulos elásticos.

Otros múltiples factores cuestionan la posibilidad de una correcta semejanza. Así :

- La existencia de grandes deformaciones y como consecuencia el desplazamiento del punto de aplicación de la carga.
- Fenómenos de variación en el tiempo con métodos de carga no gravitatorios. ( cilindros hidráulicos ).
- Perdida de linealidad tensión-deformación ... etc.



**A.II-8** Polariscope lineal monocromático.

## ECUACIONES DEL POLARISCOPIO MONOCROMATICO

Se reseñan simplemente las ecuaciones finales que rigen la modulación de intensidad luminosa para un polaríscopio plano por transparencia con luz monocromática :  
 [Ref.4] [Ref.6] [Ref.7]

Sí :

$A = A_0 \sin \omega t$	Amplitud
$I = A_0^2$	Intensidad luminosa
$\delta = C_\sigma (\sigma_p - \sigma_q) e$	Retardo ( nm.)
$\phi = \frac{2\pi\delta}{L}$	Retardo angular ( rad.)
$\theta$	Angulo formado por el eje vert. y el eje del Polarizador.
$\beta$	Angulo formado por el eje del Polarizador y $\sigma_i$ (dirección pral.)
(AII-16) $N = \frac{\delta}{L} = \frac{(\sigma_p - \sigma_q)}{F_\sigma}$	Orden de extinción.
(AII-17) $F_\sigma = \frac{L}{C_\sigma e}$	Cte. fotoelástica del modelo.

En el esquema de la Fig. AII-7, se contemplan diferentes posiciones relativas del Polarizador, 1º lámina L/4 , modelo, 2º lámina L/4 y Analizador.

En perspectiva, sobre las Fig. AII-8 y AII-9.

Si analizamos la 1º configuración, correspondiente al caso más usual de ausencia de láminas L/4, la intensidad emergente :

$$I = I_0 \sin^2 N\pi \sin^2 2\beta \quad (AII-18)$$

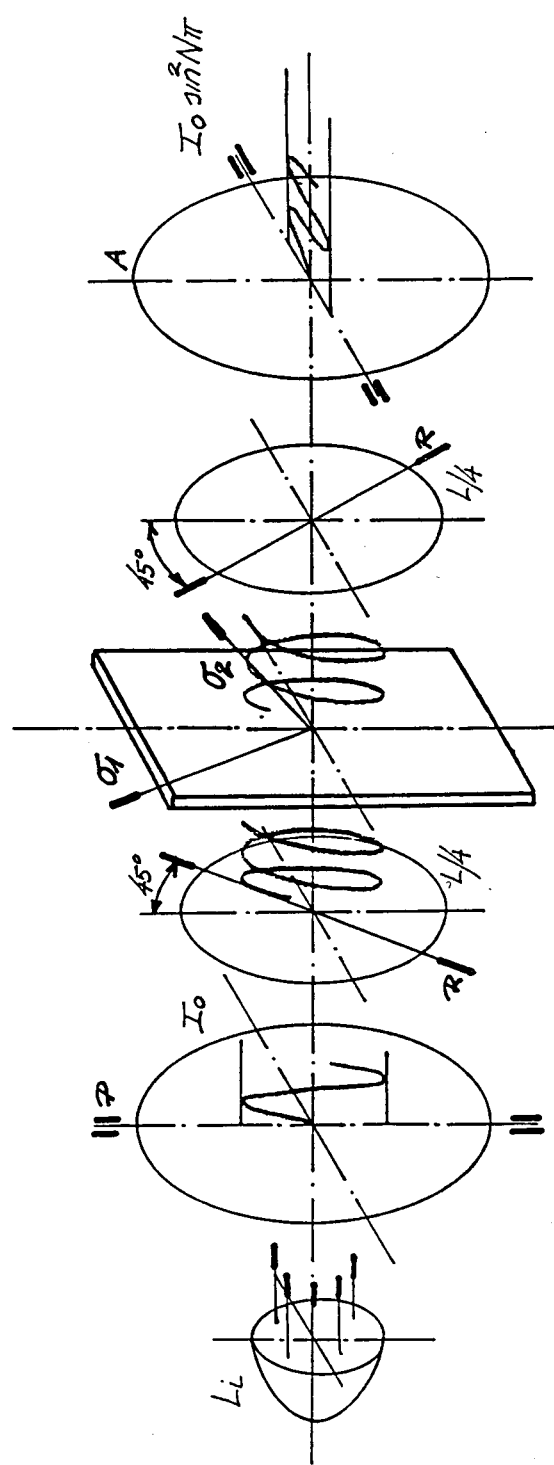
será nula en dos casos :

a) Cuando  $N = 0, 1, 2, 3 \dots$  etc.  $N =$  orden de extinción.

$$N = \delta/L = |\sigma_1 - \sigma_2| C_\sigma e/L = (\sigma_p - \sigma_q) C_\sigma e/L \quad (AII-19)$$

Es decir, el retardo  $\delta$  provocado por la existencia de  $(\sigma_p - \sigma_q)$  sea un múltiplo entero de la longitud de onda, dependiendo así de ella.

La naturaleza del medio continuo provoca la aparición de franjas de extinción denominadas ISOCROMATICAS.



**A.II-9** Polariscope circular monocromático.

b ) Cuando  $\beta = 0, 90^\circ, 180^\circ, \dots$  etc.

Es decir el eje del polarizador coincide con una dirección principal.

Las franjas de extinción se denominan ISOCLINAS y dependen solo de la inclinación del polarizador, no de la longitud de onda incidente.

Puede observarse que la configuración 2º proporciona extinción exclusivamente para valores simultáneos de  $N = 0.5, 1.5, 2.5, \dots$  etc. y  $\beta = 0, 90^\circ, 180^\circ \dots$ , no siendo usual su utilización.

El resto de configuraciones trabajan con polarización circular y la intensidad emergente no depende del ángulo  $\beta$ , ni por tanto de la inclinación  $\theta$  del polarizador.

$$I = I_0 \sin^2 N\pi \quad \text{ISOCROM. } N = 0, 1, 2, \dots \quad (\text{AII-20})$$

$$I = I_0 (1 - \sin^2 N\pi) \quad \text{ISOCROM. } N = 0.5, \dots \quad (\text{AII-20})$$

Existe el inconveniente que la lámina  $L/4$  solo es apta para el trabajo en una sola longitud de onda.

#### POLARISCOPIO CON LUZ BLANCA

Utilizando luz blanca, conteniendo un amplio espectro de frecuencias, la extinción total de la componente correspondiente a una cierta longitud de onda  $L_i$ , sucede cuando:

$$N_i = \delta / L_i \quad N = 0, 1, 2, \dots$$

provocando la aparición del color complementario a la misma.

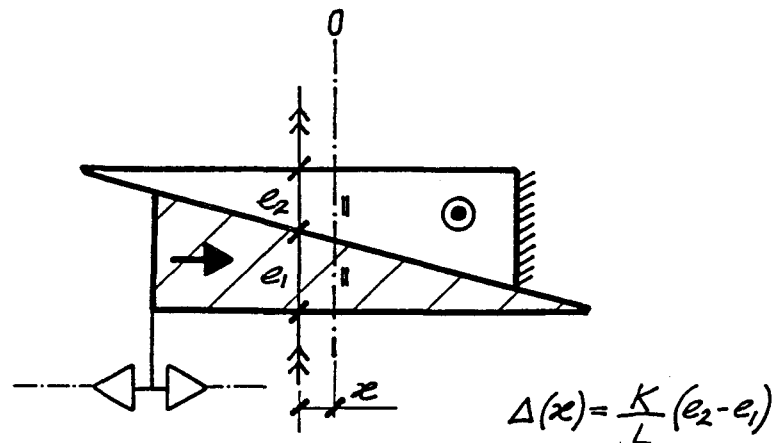
La intensidad luminosa total :

$$I_{\text{total}} = \sum_{i=1}^n I_{0i} \sin^2 2\beta \sin^2 \delta / L_i \pi \quad (\text{AII-22})$$

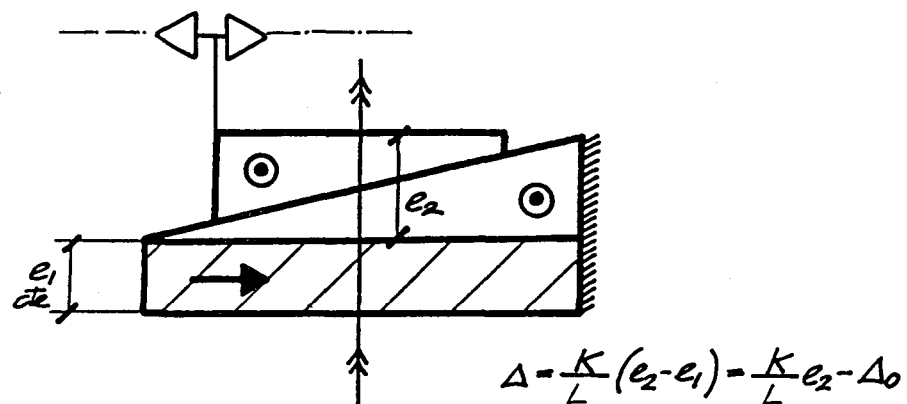
depende de  $\delta$  y de las longitudes de onda implicadas. La extinción total se verificará solo en las isoclínas.

Además, al crecer el retardo  $\delta$  se van produciendo superposiciones de extinción (a partir de aprox.  $\delta = 800 \text{ nm}$ ), disminuyendo la pureza del color y provocando para ordenes elevados la difuminación incluso de la tinta sensible.

Este mismo efecto se observa cuando se trabaja con luz no totalmente monocromática, y es objeto de detallado estudio en la presente Tesis al utilizar los filtros selectivos.



**A.II-10** Compensador de Babinet.



**A.II-11** Compensador de Babinet- Soleil.



Ejes ópticos activos.



## MEDICION CLASICA DEL RETARDO

El método clásico para evaluar el retardo  $\delta$  y determinar así  $(\sigma_p - \sigma_q)$ , consiste en distinguir en el orden de extinción total N, dos componentes :

$$N = \delta / L$$

(AII-23)

$$N = M + n$$

M orden entero

n= orden fracc.  $0 \leq n < 1$

{ M se calcula usualmente mediante deducción perspicaz del crecimiento de franjas  
n con compensadores ópticos u otros sistemas automáticos

## INSTRUMENTOS COMPENSADORES

Sobre un compensador de Babinet puede apreciarse el retardo, correspondiente al orden fraccionario, con una precisión de una centésima de longitud de onda.

El mecanismo consiste en dos cuñas de cuarzo (Fig. AII-10), una de ellas fija al instrumento mientras que la otra puede desplazarse mediante tornillo micrométrico. Sus dos ejes ópticos están invertidos, uno sobre el índice lento, otro sobre el rápido. Así cualquier onda incidente sufre un retardo adicional  $\delta$  al recorrer el instrumento :

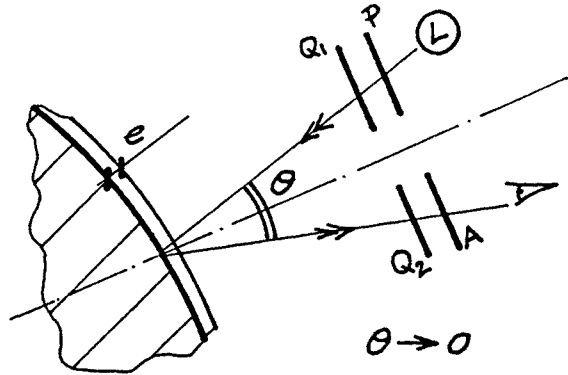
$$\delta = (r_1 - r_2) (e_1 - e_2) = K / L (e_1 - e_2)$$

Dependiendo del punto de incidencia = x . [Ref.2] [Ref.4]  
[Ref.5].

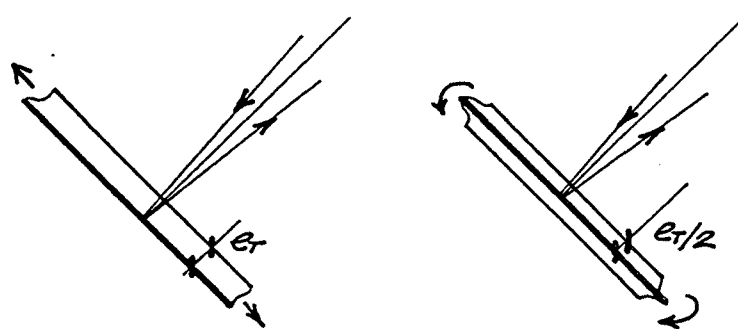
No ocurre lo mismo en el compensador Babinet-Soleil, que produce un retardo cte. en toda la superficie (Fig. AII-11) [Ref.4] [Ref.5].

Para utilizar un compensador es necesario alinearlo sobre la dirección principal y regular el tornillo hasta provocar la extinción total en el pto. La lectura se obtiene directamente sobre el instrumento.

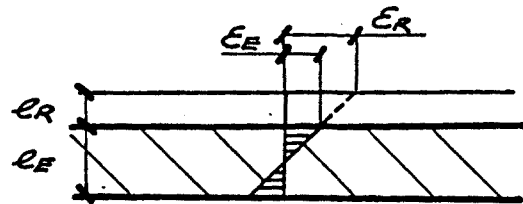
También existen compensadores con una tira de material fo-toelástico sometidos a tracción o compresión regulable.



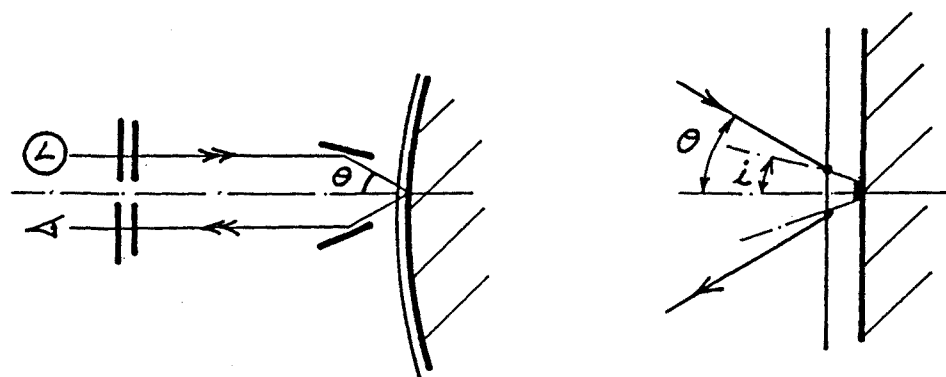
**A.II-12** Fotoelasticidad por reflexión.



**A.II-13** Estudio de placas delgadas.



**A.II-14** Corrección geométrica.



**A.II-15** Incidencia oblicua con ángulo  $i$ .

## METODO DE TARDY

No es tan preciso como el sistema anterior. Primeramente se colocan Polarizador y Analizador cruzados sobre las direcciones principales, es decir girando el conjunto hasta provocar extinción total. A continuación, se insertan las dos láminas L/4 provocando la desaparición de dicha isoclinia.

Finalmente hay que girar el Analizador un cierto ángulo hasta provocar una nueva extinción o paso de isocromática. El ángulo recorrido  $\phi$  proporciona directamente el retraso fraccionario.

El método de Senarmont es una variante del mismo.

Ambos tienen sus bases teóricas en la Esfera de Poincare, y da origen a la mayoría de principios de medida utilizados en los bancos fotoelásticos automatizados de tipo puntual.

## FOTOELASTICIDAD POR REFLEXION

El método consiste en recubrir la pieza real en estudio con una capa de material fotoelástico. La reflexión se consigue con un aceptable pulido de la superficie o mediante la utilización de colas reflejantes.

El esquema básico se ve representado en la Fig. AII-12 .

Corresponde a un polaríscopio usual, donde sus ecuaciones de comportamiento son similares a las ya indicadas anteriormente, con la importante salvedad que el haz luminoso atraviesa dos veces el espesor del recubrimiento.

Admitiendo una adherencia perfecta:

$$\epsilon_{\text{recubr.}} = \epsilon_{\text{pieza}} \quad (\text{AII-24})$$

Queda por la ecuación de Neumann (AII-6)

$$C_\epsilon 2e \left| \epsilon_1 - \epsilon_2 \right| = \delta \quad \left| \epsilon_1 - \epsilon_2 \right| = N F_\epsilon$$

Si queremos determinar las tensiones en la superficie de la pieza y admitiendo proporcionalidad tenso-deformacional en la estructura :

$$C_\epsilon 2e \left[ \frac{1 + \mu_{\text{pieza}}}{E_{\text{pieza}}} \right] \left| \sigma_1 - \sigma_2 \right| = \delta \quad (\text{AII-25})$$

Es muy importante la elección de un valor mínimo de  $F_E$  para obtener buenos registros, lo que obliga a trabajar con espesores altos. En tal caso, puede haber influencia sobre el comportamiento real de la pieza. Estudios especializados y factores de corrección pueden encontrarse en [Ref.6 y 9]. (Fig. AII-14).

Las galgas fotoelásticas por reflexión tienen su aplicación en el estudio de tensiones residuales o internas por medio de los conocidos métodos experimentales de corte y taladro circular. [Ref.6].

También el análisis sobre medios anisótropos [Ref.9] puede abordarse con éxito, en particular el estudio de isoclinas e isostáticas deformacionales.

Las placas delgadas, que puedan admitir experimentalmente el recubrimiento por sus dos caras o mediante la confección de un doble modelo fotoelástico con la superficie reflejante en plano medio y cara superficial, (Fig. AII-14), pueden ser analizadas separando las tensiones debidas a flexión y compresión uniforme. [Ref.6]

De forma general, cuando es necesario un estudio cuantitativo la separación de tensiones se realiza mediante incidencia oblicua puntual, obteniéndose las deformaciones principales en el recubrimiento y por tanto en la estructura. Es necesario acoplar un mecanismo auxiliar cuyo esquema se representa en la Fig. AII-15.

#### FOTOELASTICIDAD TRIDIMENSIONAL

El estudio de modelos tridimensionales en Fotoelasticidad es realmente complejo tanto en su aspecto teórico como experimental.

La información obtenida generalmente hace referencia a un plano de trabajo. El conocimiento del tensor tensión exige seis parámetros, y por tanto debe recurrirse al estudio en otros planos e interrelacionar los resultados.

La mayoría de técnicas que se describen a continuación son extremadamente delicadas y requieren de una alta cualificación experimental.

#### Método de la lámina inclusa o de Favre.

Consiste en incorporar en el mecanizado o moldeado de la pieza, compuesta de material translúcido con baja birrefringencia (metacrilato de metilo), una lámina plana inclusa fotoelásticamente activa (resina epoxi con aditivos adhesivos). (Fig. AII-16)

Aproximadamente los módulos elásticos de ambos son coincidentes.

El estudio en el polariscopio solo revela la birrefringencia en el plano de la placa. Corresponde a la Teoría de la Elasticidad interpretar los resultados. El método se aplica en cuerpos con simetría geométrica y de carga, o en problemas axisimétricos.

#### Método de "Congelación de tensiones"

La técnica denominada de congelación de tensiones es muy utilizada en 3D y ocasionalmente en 2D.

Consiste basicamente en retener con un enfriamiento cuidadoso la birrefringencia óptica presente en el material a alta temperatura. Este fenómeno puede conseguirse gracias al doble tipo de enlace molecular que poseen algunos polímeros (Fig. AII-17).

A baja temperatura coexisten ambos enlaces presentando el material un alto módulo elástico  $E$  y alta cte. fotoelástica  $C_\sigma$ . A partir de una temperatura  $T_0$  de transición solo queda operativo un solo tipo de enlace, con bajo  $E'$  y  $C'_\sigma$ .

El material es pues muy deformable, pero con baja carga se obtiene un excelente registro fotoelástico. [Ref.4] [Ref.6] [Ref.12].

Si a dicha temperatura  $T_0$  se carga el modelo y a la vez se procede a un lento enfriamiento, la imagen fotoelástica o birrefringencia queda prácticamente retenida o "congelada" a la temperatura ambiente.

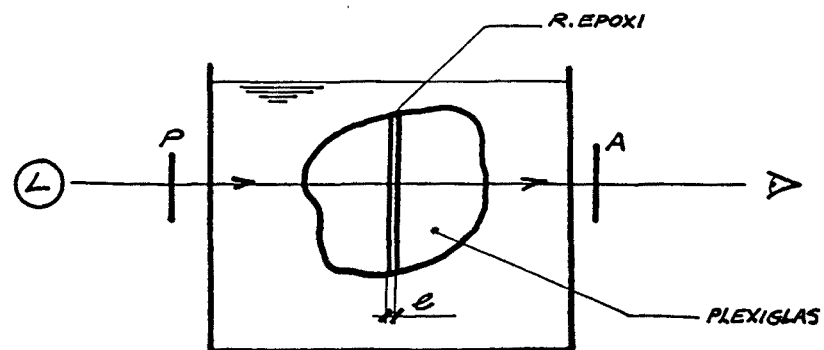
La variación de parámetros experimentales obliga a cargar simultáneamente y con identico proceso, una probeta testigo que nos servirá para calcular con exactitud los valores de  $E'$  y  $C'_\sigma$  que existieron a alta temperatura. [Ref.12].

La cuantificación de la calidad del material fotoelástico viene dado por la figura de mérito  $Q$ :

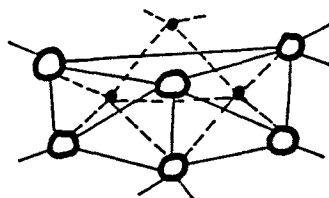
$$Q = \frac{E'}{C'_\sigma} \quad (\text{AII-26})$$

Es decir interesa baja deformación y alto registro óptico.

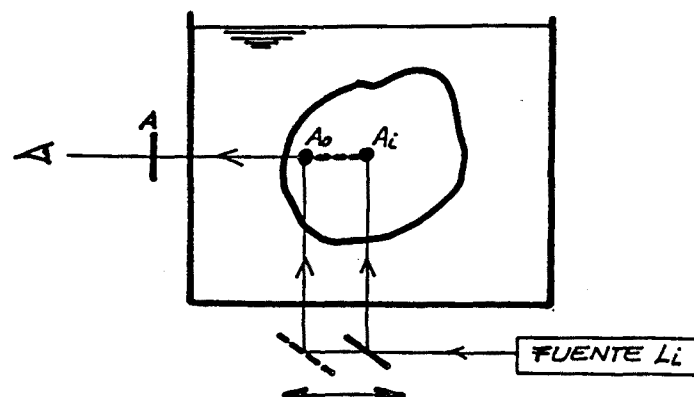
El coeficiente de Poisson a temperatura  $T_0$  es cercano al valor de 0.5, lo que impone graves inconvenientes al método, tanto al aplicar la teoría de modelos como en la separación de tensiones mediante sistemas micrométricos. [Ref.12]



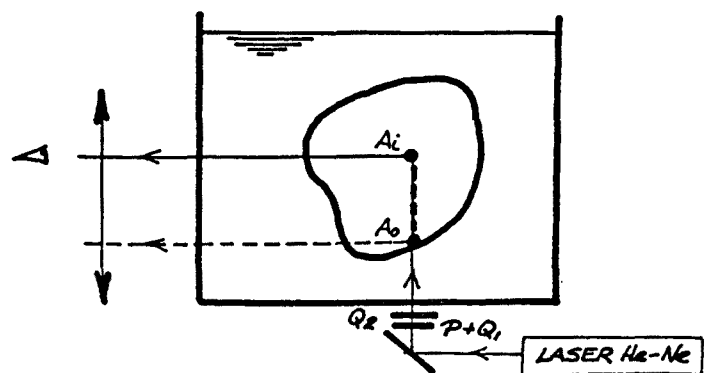
**A.II-16** Técnica 3D de lámina inclusa.



**A.II-17** Doble tipo de enlace.



**A.II-18** La difusión como polarizador interno



**A.II-19** Incidencia previamente polarizada.

Concluida la etapa experimental, el siguiente proceso es la extracción de resultados.

El sistema más utilizado es el análisis de rebanadas planas paralelas obtenidas por corte y mecanizado del modelo.

La observación se realiza con una incidencia normal y dos oblicuas, posteriormente se aplica el método de diferencia de cortantes basado en las Ecuaciones de Equilibrio. (A-I) [Ref.12]

#### Método de la Luz Difusa

Este método puede aplicarse tanto a la pieza directamente cargada, como a modelos previamente congelados. El montaje debe sumergirse en una cuba con un líquido de índice de refracción semejante al material fotoelástico, con efecto de evitar reflexiones e incidencias no normales. Por tanto, la congelación de tensiones evita el engoroso sistema de carga.

La luz difusa es la que se propaga perpendicularmente al recorrido del rayo principal. El principio de medida se basa en la propiedad que tiene la misma de estar polarizada linealmente sobre el plano normal de avance del rayo principal.

En la práctica se utilizan dos sistemas de trabajo:

1- El fenómeno de la difusión actua de polarizador interno (Fig. AII-18).

El rayo incidente es de luz monocromática, pero exento de polarización preferente. En el pto de estudio  $A_i$  se produce la difusión de la luz y esta sale linealmente polarizada en el plano perpendicular al papel.

En el analizador se observa la birrefringencia acumulada entre  $A_i$  y la salida del modelo.

Comparando entre un pto. inicial conocido  $A_0$  y  $A_i$  puede determinarse el incremento de birrefringencia con la ayuda de un elipsómetro electrónico

2- La luz incide previamente polarizada (Fig. AII-19).

El haz laser de He-Ne (632 nm) es polarizado y dos láminas posicionales L/4 modulan su amplitud.

El observador puede evaluar la birrefringencia acumulada entre dos puntos :  $A_0$  y  $A_i$  .

Dado que, en general, no solo varian las tensiones entre  $A_0$  y  $A_i$  si no tambien las direcciones principales a lo largo del recorrido , el tratamiento matemático de la información es harto complejo.

**ANEXO III  
PROGRAMACION**

### A. III PROGRAMACION

Ya que la investigación sigue en su linea de trabajo, no deben considerarse los programas como cerrados.

La puesta en marcha de B.F.A obliga al control del conjunto formado por los motores c.c. y encoders respectivos. Se ha realizado alguna prueba en programas independientes, pero es preciso un ensamblado general del sistema.

El software IMAGEACTION ( Apart. 2.23 ) ha sido de gran utilidad en la prueba inicial y puesta a punto de los algoritmos.

El compilador utilizado es MICROSOFT Versión 3.31 y las librerías ITEXPC de IMAGING.Inc.  
Se ha procurado seguir la norma FORTRAN 77 y comentar suficientemente los diferentes pasos del algoritmo.

Se adjuntan los programas más significativos :

ERROR.FOR	Simulación del retardo absoluto $\delta$ . (Pag.3-53)
ISORAPID.FOR	Idem. en dos fases: I y II. (Pag.3-57).
ISOCLIN.FOR	Composición de los registros I- $\theta^*$ mediante variable compleja de ángulo doble. (Pag.3-26)
ISOSTAT.FOR	Obtención de líneas pseudoisostáticas con una trama virtual. (Pag.3-41).
RETARDO.FOR	Mediante los cuatro registros Li, obtención del retardo absoluto $\delta$ en todos los pixels del modelo. (Pag.3-58).
IMAGEIMP.FOR	Programa auxiliar para salida impresa de resultados en formato \$.IMG. (Pag.4-11).

## ERROR.FOR

```

5>
      PROGRAM ERROR
      REAL*4  DELTA,ADELTA,EMAX,EMIN
      REAL*4  E(200),D(200),EP(6),Z(6),L(6)
      REAL*4  VALOR(100)
      OPEN(1,FILE='PRN')
      WRITE(*,*) CHAR(15)
      WRITE(*,*) CHAR(27),CHAR(51),CHAR(19)
      WRITE(*,*) CHAR(27),CHAR(83),CHAR(0)
      WRITE(*,*) 'NUMERO DE LONGITUDES DE ONDA ='
      READ(*,*) N
      DO 1 I=1,N
          WRITE(*,100) I
100       FORMAT (' ',1L(' ',I1,'=     '))
          READ(*,*) L(I)
      WRITE(*,*) 'RETARDO =     '
      READ(*,*) DELTA
      WRITE(*,*) 'INCREMENTO DE RETARDO =     '
      READ(*,*) ADELTA
      WRITE(*,*)          '# PROGRAMA SIMULACION RESPUESTA ALGORITMO #'
      WRITE(*,*)          'LONGITUDES DE ONDA'
      DO 10 I=1,N
          WRITE(*,130) I,L(I)
130       FORMAT (' ',15X,'L('',I1,'')=',F7.2)
          WRITE(*,*)          'RETARDO EXISTENTE     ',DELTA
          WRITE(*,*)          'INCREMENTO DE RETARDO= ',ADELTA
          WRITE(*,*)          '*** EVALUACION SIMULADA DE Z(I) ***'
          DO 2 I=1,N
              Z(I)=250.0*(SIN((DELTA*3.14159)/L(I))**2)
2           WRITE(*,110) I,L(I),I,Z(I)

110       FORMAT (' ',15X,'L('',I1,'')=',F8.2,BX,'Z('',I1,'')=',F8.2)
      WRITE(*,*)          '*** EVALUACION ERROR E(D) ***'
      DD=0.0
      EMAX=0.0
      EMIN=10000.0
      DO 3 J=1,200,1
          D(J)=DD
          E(J)=0.0
          DO 4 I=1,N
              EP(I)=ABS(250.0*(SIN((D(J)*3.14159)/L(I))**2-Z(I)))
4           E(J)=E(J)+EP(I)
              IF(E(J).GT.EMAX) EMAX=E(J)
              IF(E(J).LT.EMIN) GOTO 3
              EMIN=E(J)
              DMIN=DD
            3   DD=DD+ADELTA
      WRITE(*,*)          '*** DIBUJO FUNCION ERROR E(D) ***'
      WRITE(*,140)
140       FORMAT(' ',10X,'RETARDO',103X,'ERROR')
      DO 6 J=1,200,2
          DO 5 K=1,100
5           VALOR(K)=*
          M=NINT((E(J)/EMAX)*100.0)
          VALOR(M)=*
          WRITE(*,120) D(J),(VALOR(K),K=1,100),E(J)
120       FORMAT (' ',7X,F6.1,' I',100A1,' ',F8.2)
      WRITE(*,*)          '*** MINIMO FUNCION ERROR E(D) ***'
      WRITE(*,*)          'RETARDO SOLUCION = ',DMIN
      WRITE(*,*)          'FUNCION ERROR E(D) = ',EMIN
      STOP
      END

```

## ISORAPID.FOR

```

PROGRAM ISORAPID
INTEGER*2 DELTA, EMAX, EMIN, N, LOCAL
INTEGER*2 E(15), D(15), EP(6), Z(6), L(6)
REAL*4 VALOR(100), NN
OPEN(1,FILE='PRN')
WRITE(1,*) CHAR(15)
WRITE(1,*) CHAR(27),CHAR(51),CHAR(18)
WRITE(1,*) CHAR(27),CHAR(83),CHAR(0)
WRITE(*,*) 'NUMERO DE LONGITUDES DE ONDA ='
READ(*,*) N
WRITE(*,*) 'L(1).....LONGITUD MAESTRA'
DO 1 I=1,N
    WRITE(*,100) I,I
    FORMAT (' ',L('I,I,')=',10X,Z('I,I,')=')
    READ(*,*) L(I)
    READ(*,*) Z(I)
1      WRITE(*,*)          * PROGRAMA SIMULACION ISORAPID *
    WRITE(1,102)
102    FORMAT(//)
    WRITE(1,*)          *** DATOS / L(1)-Longitud maestra ***
    DO 2 I=1,N
2      WRITE(1,110) I,L(I),I,Z(I)
        FORMAT(' ',15X,L('I,I,')=',IS,8X,Z('I,I,')=',IS)
    NN=(ASIN((Z(1)/250.)*#0.5))/3.14159
    WRITE(1,120) NN
120    FORMAT(' ',9X,'ORDEN FRACCIONARIO L(1) =',FB.6,/)
    D(1)=NN*L(1)
    D(2)=(1-NN)*L(1)
    D(3)=(1+NN)*L(1)
    D(4)=(2-NN)*L(1)
    D(5)=(2+NN)*L(1)
    D(6)=(3-NN)*L(1)
    D(7)=(3+NN)*L(1)
    D(8)=(4-NN)*L(1)
    D(9)=(4+NN)*L(1)
    D(10)=(5-NN)*L(1)
    D(11)=(5+NN)*L(1)
    D(12)=(6-NN)*L(1)
    D(13)=(6+NN)*L(1)
    D(14)=(7-NN)*L(1)
    D(15)=(7+NN)*L(1)
    LOCAL=0
50     EMAX=0
    EMIN=10000
    DO 3 J=1,15
        IF(D(J).GT.4500) GOTO 8
        E(J)=0
        DO 4 I=1,N
            EP(I)=ABS(250.0*(SIN((D(J)*3.14159)/L(I))**2-Z(I)))
4      E(J)=E(J)+EP(I)
        IF(E(J).GT.EMAX) EMAX=E(J)
        IF(E(J).GT.EMIN) GOTO 3
        EMIN=E(J)
        DMIN=D(J)
3      CONTINUE
8      WRITE(1,*)          *** DIBUJO FUNCION ERROR E(D) ***
    WRITE(1,140)
140    FORMAT(' ',10X,'RETARDO',105X,'ERROR')
    DO 6 J=1,15
        DO 5 K=1,100
            VALOR(K)=' '
            M=NINT(((E(J)*1.)/EMAX)*100.0)
            VALOR(M)='*'
            IF(LOCAL.EQ.1) GOTO 6
            WRITE(1,250)
250    FORMAT(2X)
6      WRITE(1,150) D(J),(VALOR(K),K=1,100),E(J)
150    FORMAT(' ',7X,1B,' I',100A1,' ',1B)
    WRITE(1,200)
200    FORMAT(///)
    WRITE(1,*)          *** MINIMO FUNCION ERROR E(D) ***

```

```
      WRITE(1,*)
      WRITE(1,*)
      IF(LOCAL.EQ.1) GOTO 60
      LOCAL=1
      WRITE(1,210)
210   FORMAT(///)
      WRITE(1,*)
      DO 55 J=1,15
      55   D(J)=(DMIN-35)+J*5
      GOTO 50
50   CONTINUE
      STOP
      END
      RETARDO SOLUCION = ',DMIN
      FUNCION ERROR E(D) = ',EMIN
```

## ISOCLIN.FOR

```
B>      PROGRAM ISOCLIN
C
C *INCLUDE: 'ITEXPC. INC'
C
C -----
C
C ***** DEFINICION DE VARIABLES *****
C
IMPLICIT INTEGER*2 (A-Z)
INTEGER*2 TOTAL(256,256,2)
INTEGER*2 X,Y,Z
INTEGER*4 I,J,D1,D2,D3,D4
REAL*8 FI, ID1, ID2, ID3, ID4, A,B,A1,B1,A2,B2,A3,B3,A4,B4
CHARACTER*1 SN
CHARACTER*21 FNAME
CHARACTER*127 COMLIN
CHARACTER*127 TS
C
C -----
C
C ***** CANALES DE COMUNICACION *****
C
C
-----IMPRESORA-----
OPEN (1,FILE='PRN')
WRITE (1,*) CHAR(15)
WRITE (1,*) CHAR(27),CHAR(51),CHAR(18)
WRITE (1,*) CHAR(27),CHAR(83),CHAR(10)
C
-----MONITOR IBM-----
OPEN (2,FILE='CON')
WRITE (2,'(1X,2A\')') CHAR(27),'[2J'
WRITE (2,'(1X,2A\')') CHAR(27),'[-3h'
C
C -----
C
CALL BETHDW (16#FFFOO,16#A000,1)
CALL PORTADA
C
C -----
C
C ***** INICIALIZAR PROGRAMA *****
C
CALL INITRE
CALL INITLU
CALL SCLEAR (128,1)
TS=' LINEAS ISOCLINAS CORREGIDAS'
CALL TEXT (10,300,0,2,50,127,TS)
TS='ISOCLIN '
CALL TEXT (3,100,0,8,255,127,TS)
C
C -----
C
C ***** INICIALIZAR MATRIZ TOTAL (256,256) *****
C
DO 10 I=1,256
    DO 10 J=1,256
        TOTAL(I,J,1)=20000
        TOTAL(I,J,2)=0
10
C
CALL SCLEAR (0,1)
C
C -----
C
C ***** GRABACION DEL CONTORNO EN TOTAL(I,J,1) *****
C
WRITE(2,1000)CHAR(27),'[0;5;30;47m'
WRITE(2,1000)CHAR(27),'[4;1f'
1000 FORMAT(' ',2A\')
WRITE(2,1050)' Lectura del contorno procedente de '
WRITE(2,1050)' CONT.IMG sobre la matriz interna '
WRITE(2,1050)' del programa: TOTAL(256,256,1) .'
```

```

1050 FORMAT(' ',A)
C
FNAME='CONT.IMG'
ERRVAL=READFT(0,0,256,256,FNAME,COMLIN)
DO 15 I=1,256
  DO 15 J=1,256
    X=J-1
    Y=I-1
    Z=RPIXEL(X,Y)
    IF(Z.LT.250) TOTAL(I,J,1)=20000
15  CONTINUE
C
C -----
C
C ***** REGISTRO PARCIAL ISOCLINA 0 *****
C
WRITE(2,1000) CHAR(27),'[4;1f'
WRITE(2,1050)'
WRITE(2,1050)'           Isoclina = 0
WRITE(2,1050)'

C
FNAME='IC-0.IMG'
ERRVAL=READFT(0,256,256,256,FNAME,COMLIN)
C
DO 20 I=1,256
  DO 20 J=1,256
    IF(TOTAL(I,J,1).EQ.20000) GOTO 20
    X=J-1
    Y=I+255
    Z=RPIXEL(X,Y)
C
    IF(Z.NE.250) THEN
      IF(TOTAL(I,J,1).EQ.-20000) TOTAL(I,J,1)=0
      TOTAL(I,J,1)=TOTAL(I,J,1)+COS(2*Z*3.14159/180)*1000
      TOTAL(I,J,2)=TOTAL(I,J,2)+SIN(2*Z*3.14159/180)*1000
    ENDIF
20  CONTINUE
C
C -----
C
C ***** REGISTRO PARCIAL ISOCLINA 15 *****
C
WRITE(2,1000) CHAR(27),'[5;1f'
WRITE(2,1050)'
WRITE(2,1050)'           Isoclina = 15
C
FNAME='IC-15.IMG'
ERRVAL=READFT(0,256,256,256,FNAME,COMLIN)
C
DO 30 I=1,256
  DO 30 J=1,256
    IF(TOTAL(I,J,1).EQ.20000) GOTO 30
    X=J-1
    Y=I+255
    Z=RPIXEL(X,Y)
C
    IF(Z.NE.250) THEN
      IF(TOTAL(I,J,1).EQ.-20000) TOTAL(I,J,1)=0
      TOTAL(I,J,1)=TOTAL(I,J,1)+COS(2*Z*3.14159/180)*1000
      TOTAL(I,J,2)=TOTAL(I,J,2)+SIN(2*Z*3.14159/180)*1000
    ENDIF
30  CONTINUE
C
C -----
C
C ***** REGISTRO PARCIAL ISOCLINA 30 *****
C
WRITE(2,1000) CHAR(27),'[5;1f'
WRITE(2,1050)'
WRITE(2,1050)'           Isoclina = 30
C
FNAME='IC-30.IMG'

```

```

ERRVAL=READFT(0,256,256,256,FNAME,COMLIN)
C
DO 40 I=1,256
  DO 40 J=1,256
    IF(TOTAL(I,J,1).EQ.20000) GOTO 40
    X=J-1
    Y=I+255
    Z=RPIXEL(X,Y)

C
    IF(Z.NE.250) THEN
      IF(TOTAL(I,J,1).EQ.-20000) TOTAL(I,J,1)=0
      TOTAL(I,J,1)=TOTAL(I,J,1)+COS(2*Z*3.14159/180)*1000
      TOTAL(I,J,2)=TOTAL(I,J,2)+SIN(2*Z*3.14159/180)*1000
    ENDIF
40  CONTINUE
C
-----
C
***** REGISTRO PARCIAL ISOCLINA 45 *****
C
WRITE(2,1000)CHAR(27),'[5;1f'
WRITE(2,1050)'           Isoclina = 45

C
FNAME='IC-45.IMG'
ERRVAL=READFT(0,256,256,256,FNAME,COMLIN)
C
DO 50 I=1,256
  DO 50 J=1,256
    IF(TOTAL(I,J,1).EQ.20000) GOTO 50
    X=J-1
    Y=I+255
    Z=RPIXEL(X,Y)

C
    IF(Z.NE.250) THEN
      IF(TOTAL(I,J,1).EQ.-20000) TOTAL(I,J,1)=0
      TOTAL(I,J,1)=TOTAL(I,J,1)+COS(2*Z*3.14159/180)*1000
      TOTAL(I,J,2)=TOTAL(I,J,2)+SIN(2*Z*3.14159/180)*1000
    ENDIF
50  CONTINUE
C
-----
C
***** REGISTRO PARCIAL ISOCLINA 60 *****
C
WRITE(2,1000)CHAR(27),'[5;1f'
WRITE(2,1050)'           Isoclina = 60

C
FNAME='IC-60.IMG'
ERRVAL=READFT(0,256,256,256,FNAME,COMLIN)
C
DO 60 I=1,256
  DO 60 J=1,256
    IF(TOTAL(I,J,1).EQ.20000) GOTO 60
    X=J-1
    Y=I+255
    Z=RPIXEL(X,Y)

C
    IF(Z.NE.250) THEN
      IF(TOTAL(I,J,1).EQ.-20000) TOTAL(I,J,1)=0
      TOTAL(I,J,1)=TOTAL(I,J,1)+COS(2*Z*3.14159/180)*1000
      TOTAL(I,J,2)=TOTAL(I,J,2)+SIN(2*Z*3.14159/180)*1000
    ENDIF
60  CONTINUE
C
-----
C
***** REGISTRO PARCIAL ISOCLINA 75 *****
C
WRITE(2,1000)CHAR(27),'[5;1f'
WRITE(2,1050)'           Isoclina = 75
C

```

```

FNAME=' IC-75.IMG'
ERRVAL=READFT(0,256,256,256,FNAME,COMLIN)
C
DO 70 I=1,256
  DO 70 J=1,256
    IF(TOTAL(I,J,1).EQ.20000) GOTO 70
    X=J-1
    Y=I+255
    Z=RPIXEL(X,Y)
C
    IF(Z.NE.250) THEN
      IF(TOTAL(I,J,1).EQ.-20000) TOTAL(I,J,1)=0
      TOTAL(I,J,1)=TOTAL(I,J,1)+COS(2*Z*3.14159/180)*1000
      TOTAL(I,J,2)=TOTAL(I,J,2)+SIN(2*Z*3.14159/180)*1000
    ENDIF
70  CONTINUE
C
C -----
C **** CALCULO DEL ANGULO DE ISOCINA CORREGIDO TOTAL *****
C -----
WRITE(2,1000)CHAR(27),'[5;1f'
WRITE(2,1050)'      Composicion de registros '
C
500  DO 510 I=1,256
    DO 510 J=1,256
      IF(TOTAL(I,J,1).EQ.20000) GOTO 510
      X=J+255
      Y=I+255
C
      IF(TOTAL(I,J,1).EQ.-20000) THEN
        CALL WPIXEL(X,Y,250)
        GOTO 510
      ENDIF
C
      FI=ATAN2(TOTAL(I,J,2)*1.0,TOTAL(I,J,1)*1.0)/2
      Z=FI*180/3.14159
      IF(Z.LT.0) Z=Z+180
      CALL WPIXEL(X,Y,Z)
C
510  CONTINUE
C
C -----
C **** INTERPOLACION EN PIXELES VACIOS *****
C -----
WRITE(2,1000)CHAR(27),'[5;1f'
WRITE(2,1050)'      Interpolacion bidimensional '
C
CALL CAREA (256,256,256,256,256,0,256,256)
C
550  DO 560 I=1,256
    DO 560 J=1,256
      IF(TOTAL(I,J,1).NE.-20000) GOTO 560
      X=J+255
      Y=I-1
C
      ----- DISTANCIA DERECHA D1 -----
C
560  DO 565 D1=1,50
    IF(J+D1.GT.256) GOTO 566
    IF(TOTAL(I,J+D1,1).EQ.20000) THEN
      ID1=0.
      A1=0.
      B1=0.
      GOTO 570
    ENDIF
    IF(TOTAL(I,J+D1,1).NE.-20000) THEN
      ID1=1./D1

```

```

        A1=TOTAL(I,J+D1,1)
        B1=TOTAL(I,J+D1,2)
        GOTO 570
    ENDIF
565    CONTINUE
566    ID1=0.
        A1=0.
        B1=0.

C
C      ----- DISTANCIA SUPERIOR D2 -----
C
570    DO 575 D2=1,50
        IF(I-D2.LT.1) GOTO 576
        IF(TOTAL(I-D2,J,1).EQ.20000) THEN
            ID2=0.
            A2=0.
            B2=0.
            GOTO 580
        ENDIF
        IF(TOTAL(I-D2,J,1).NE.-20000) THEN
            ID2=1./D2
            A2=TOTAL(I-D2,J,1)
            B2=TOTAL(I-D2,J,2)
            GOTO 580
        ENDIF
575    CONTINUE
576    ID2=0.
        A2=0.
        B2=0.

C
C      ----- DISTANCIA IZQUIERDA D3 -----
C
580    DO 585 D3=1,50
        IF(J-D3.LT.1) GOTO 586
        IF(TOTAL(I,J-D3,1).EQ.20000) THEN
            ID3=0.
            A3=0.
            B3=0.
            GOTO 590
        ENDIF
        IF(TOTAL(I,J-D3,1).NE.-20000) THEN
            ID3=1./D3
            A3=TOTAL(I,J-D3,1)
            B3=TOTAL(I,J-D3,2)
            GOTO 590
        ENDIF
585    CONTINUE
586    ID3=0.
        A3=0.
        B3=0.

C
C      ----- DISTANCIA INFERIOR D4 -----
C
590    DO 595 D4=1,50
        IF(I+D4.GT.256) GOTO 596
        IF(TOTAL(I+D4,J,1).EQ.20000) THEN
            ID4=0.
            A4=0.
            B4=0.
            GOTO 600
        ENDIF
        IF(TOTAL(I+D4,J,1).NE.-20000) THEN
            ID4=1./D4
            A4=TOTAL(I+D4,J,1)
            B4=TOTAL(I+D4,J,2)
            GOTO 600
        ENDIF
595    CONTINUE
596    ID4=0.
        A4=0.
        B4=0.

C

```

```

600      CONTINUE
C
A=(ID1*A1+ID2*A2+ID3*A3+ID4*A4)/(ID1+ID2+ID3+ID4)
B=(ID1*B1+ID2*B2+ID3*B3+ID4*B4)/(ID1+ID2+ID3+ID4)
C
FI=ATAN2(B,A)/2
Z=FI*180./3.14159
IF(Z.LT.0) Z=Z+180
CALL WPIXEL(X,Y,Z)

C
800      CONTINUE
C
-----
C
***** RESTAURACION TOTAL(256,256,I) *****
C
-----  

WRITE(2,1000)CHAR(27),'[5;1f'
WRITE(2,1050)'Restauracion de TOTAL(256,256,I) en '
WRITE(2,1050)' pantalla. (Aprox. 60 seg.)'
C
DO 850 I=1,256
DO 850 J=1,256
    IF(TOTAL(I,J,1).NE.20000) THEN
        X=J+255
        Y=I-1
        Z=RPIXEL(X,Y)
        TOTAL(I,J,1)=COS(2*Z*3.14159/180.)*1000
        TOTAL(I,J,2)=SIN(2*Z*3.14159/180.)*1000
    ENDIF
850      CONTINUE
C
-----
C
***** SUAVIZADO DEL REGISTRO FINAL *****
C
-----  

WRITE(2,1000)CHAR(27),'[5;1f'
WRITE(2,1050)' Suavizado completo con deteccion '
WRITE(2,1050)' inteligente del contorno.'
WRITE(2,1000)CHAR(27),'[9;1f'
WRITE(2,1050)' Recomendado: N = 1 a 3 max.'
C
WRITE(2,1050)CHAR(7)
WRITE(2,1000)CHAR(27),'[14;1f'
WRITE(2,1000)CHAR(27),'[0;1;33m'
WRITE(2,*)'NUMERO DE SUAVIZADOS = .....'.
READ(*,*) NS
IF(NS.EQ.0) GOTO 952
M=0
900      M=M+1
DO 950 I=1,256
DO 950 J=1,256
    X=J+255
    Y=I-1
    IF(TOTAL(I,J,1).EQ.20000) GOTO 950
C
-----
A=2*TOTAL(I,J,1)
B=2*TOTAL(I,J,2)
NN=2
C
IF(TOTAL(I-1,J+1,1).EQ.20000) GOTO 855
A=A+TOTAL(I-1,J+1,1)
B=B+TOTAL(I-1,J+1,2)
NN=NN+1
C
IF(TOTAL(I-1,J-1,1).EQ.20000) GOTO 860
A=A+TOTAL(I-1,J-1,1)
B=B+TOTAL(I-1,J-1,2)
NN=NN+1
C
IF(TOTAL(I+1,J-1,1).EQ.20000) GOTO 865
A=A+TOTAL(I+1,J-1,1)

```

```

        B=B+TOTAL(I+1,J-1,2)
        NN=NN+1
C
865      IF(TOTAL(I+1,J+1,1).EQ.20000) GOTO 870
        A=A+TOTAL(I+1,J+1,1)
        B=B+TOTAL(I+1,J+1,2)
        NN=NN+1
C
870      -----
        TOTAL(I,J,1)=A/NN
        TOTAL(I,J,2)=B/NN
C
        FI=ATAN2(TOTAL(I,J,2)*1.,TOTAL(I,J,1)*1.)/2
        Z=FI*180./3.14159
        IF(Z.LT.0) Z=Z+180
        CALL WPIXEL(X,Y,Z)
C
950      CONTINUE
        IF(NB.GT.M) GOTO 900
C
C      -----
C      **** SALVAR RESULTADO TOTAL (256,256,I) ****
C
952      WRITE(2,1000)CHAR(27),'[0;5;30;47m'
        WRITE(2,1000)CHAR(27),'[4;1f'
        WRITE(2,1050)' Es opcional la grabacion del resul-'
        WRITE(2,1050)' tado final. Utilizar preferentemente'
        WRITE(2,1050)' ISO.IMG como archivo de volcado. '
        WRITE(2,1000)CHAR(27),'[9;1f'
        WRITE(2,1050)' -----.IMG (max 8) '
C
        WRITE(2,1000)CHAR(27),'[16;1f'
955      WRITE(2,1000)CHAR(27),'[0;1;33m'
        WRITE(2,1050)CHAR(7)
        WRITE(2,*)'GRABACION IMAGEN FINAL (S / N) = .....'
        READ(*,1020) SN
        IF(SN.EQ.'N') GOTO 960

IF (SN.NE.'S') GOTO 955
C
        WRITE(2,1050)CHAR(7)
        WRITE(2,*)"NOMBRE ARCHIVO (_____ .IMG) = ....."
1020      FORMAT(A)
        ERRVAL=BAVEFT(256,0,256,256,O,FNAME,COMLIN)
C
C      -----
C
960      WRITE(2,1000)CHAR(27),'[0;5;30;47m'
        WRITE(2,1000)CHAR(27),'[4;1f'
        WRITE(2,1050)' Zoom informatico 512x512 pixels. '
        WRITE(2,1050)' Nivel 0 = 0 grados '
        WRITE(2,1050)' Nivel 180 = 180 grados '
        WRITE(2,1000)CHAR(27),'[9;1f'
        WRITE(2,1050)' '
C
        CALL ZOOM(256,0,256,256,0,0,512,512,2,2)
C
        FNAME='ROTULO.IMG'
        ERRVAL=READFT(0,0,25,512,FNAME,COMLIN)
C
        WRITE(2,1000)CHAR(27),'[0;1;33m'
        WRITE(2,1000)CHAR(27),'[18;1f'
        WRITE(2,*)"***** FIN PROGRAMA ISOCLIN.FOR *****"
        WRITE(2,1000)CHAR(27),'[0;1;37m'
        WRITE(2,1000)CHAR(27),'[24;55f'
        WRITE(2,*)"INTRO para finalizar..."
        WRITE(2,*)CHAR(7)
        READ(*,*)
        WRITE(2,1000)CHAR(27),'[0m'

```

```

      WRITE(2,1000)CHAR(27),'[2J'
      STOP
      END
C
C
C
C      SUBROUTINE PORTADA
C      OPEN(2,FILE='CON')
C
C      PRIMERA PAGINA
C
C      WRITE(2,50)CHAR(27),'[2J'
C      WRITE(2,50)CHAR(27),'[=1h'
C      WRITE(2,50)CHAR(27),'[0;1;33;44;5m'
C      WRITE(2,50)CHAR(27),'[6;1f'
C      WRITE(2,100)'
C      WRITE(2,100)'-----'
C      WRITE(2,100)'-----'
C      WRITE(2,100)'-----'
C      WRITE(2,100)'-----'
C      WRITE(2,100)'-----'
C      WRITE(2,100)'-----'
C
C      50      FORMAT(' ',2A\)
C      100     FORMAT(' ',8X,A,8X)
C      WRITE(2,50)CHAR(27),'[0;37m'
C      WRITE(2,50)CHAR(27),'[20;1f'
C      WRITE(2,100)' V:1.1 /Marzo 88 '
C
C
C      250     WRITE(2,50)CHAR(27),'[0;1;37m'
C      WRITE(2,50)CHAR(27),'[25;30f'
C      WRITE(2,250)'Intro...'
C      WRITE(2,250)CHAR(7)
C      READ(*,*)'
C      250     FORMAT(' ',A)
C
C      SEGUNDA PAGINA
C
C      WRITE(2,50)CHAR(27),'[2J'
C      WRITE(2,50)CHAR(27),'[=3h'
C      WRITE(2,50)CHAR(27),'[0;1;33;44m'
C      WRITE(2,50)CHAR(27),'[8;1f'
C      WRITE(2,200)'
C      WRITE(2,200)' AUTOMATIZACION EN LA TOMA DE MEDIDAS Y PROCESADO'
C      WRITE(2,200)' DE DATOS FOTOELASTICOS Y OPTOMECHANICOS. (1988)'
C      WRITE(2,200)' '
C      WRITE(2,50)CHAR(27),'[0;37m'
C      WRITE(2,50)CHAR(27),'[14;1f'
C      WRITE(2,210)' TESIS DOCTORAL UNIV. POLITECNICA DE CATALUNYA'
C      WRITE(2,210)' E.T.S INGENIEROS INDUSTRIALES DE BARCELONA'
C      WRITE(2,50)CHAR(27),'[19;1f'
C      WRITE(2,210)' AUTOR ..... Frederic Marimon Carvajal'
C      WRITE(2,210)' DIRECTOR TESIS .... Francisco Roura Fernandez'
C      200     FORMAT(' ',14X,A,14X)
C      210     FORMAT(' ',12X,A,12X)
C
C      200     WRITE(2,50)CHAR(27),'[0;1;37m'
C      210     WRITE(2,50)CHAR(27),'[25;55f'
C      210     WRITE(2,250)' INTRO para continuar...'
C      210     READ(*,*)CHAR(7)
C      210     READ(*,*)'
C
C      TERCERA PAGINA
C
C      300     WRITE(2,50)CHAR(27),'[2J'
C      300     WRITE(2,50)CHAR(27),'[2;5f'
C      300     WRITE(2,50)CHAR(27),'[0;1;33;47m'
C      300     WRITE(2,300)' SPECTRA '
C      300     WRITE(2,30)CHAR(27),'[0;37m'
C      300     WRITE(2,50)CHAR(27),'[2;15f'
C      300     WRITE(2,350)' Adquisicion Automatizada Li. Operador Y'
C      300     FORMAT(1X,A)

```

```

350 FORMAT(' ',SX,A)
C -----
WRITE(2,50)CHAR(27),'[4;5f'
WRITE(2,50)CHAR(27),'[0;1;33;47m'
WRITE(2,300)'IBOSTAT '
WRITE(2,50)CHAR(27),'[0;37m'
WRITE(2,50)CHAR(27),'[4;15f'
WRITE(2,350)'Obtencion Pseudoisostaticas.'
C -----
WRITE(2,50)CHAR(27),'[6;5f'
WRITE(2,50)CHAR(27),'[0;1;33;47m'
WRITE(2,300)'CIZAMAX '
WRITE(2,50)CHAR(27),'[0;37m'
WRITE(2,50)CHAR(27),'[6;15f'
WRITE(2,350)'Lineas de Maxima Cizalladura.'
C -----
WRITE(2,50)CHAR(27),'[8;5f'
WRITE(2,50)CHAR(27),'[0;5;1;33;47m'
WRITE(2,300)'IBOCLIN '
WRITE(2,50)CHAR(27),'[0;5;37m'
WRITE(2,50)CHAR(27),'[8;15f'
WRITE(2,350)'Procesado Imagenes Isoclina Corregidas'
C -----
WRITE(2,50)CHAR(27),'[10;5f'
WRITE(2,50)CHAR(27),'[0;1;33;47m'
WRITE(2,300)'RETARDO '
WRITE(2,50)CHAR(27),'[0;37m'
WRITE(2,50)CHAR(27),'[10;15f'
WRITE(2,350)'Calculo Retardo Optico Absoluto.'
C -----
WRITE(2,50)CHAR(27),'[12;5f'
WRITE(2,50)CHAR(27),'[0;1;33;47m'
WRITE(2,300)'LAPLACE '
WRITE(2,50)CHAR(27),'[0;37m'
WRITE(2,50)CHAR(27),'[12;15f'
WRITE(2,350)'Tercer Dato con Ecuacion Compatibilidad'
C -----
WRITE(2,50)CHAR(27),'[14;5f'
WRITE(2,50)CHAR(27),'[0;1;33;47m'
WRITE(2,300)'SISTEMA '
WRITE(2,50)CHAR(27),'[0;37m'
WRITE(2,50)CHAR(27),'[14;15f'
WRITE(2,350)'Tercer Dato con Equilibrio/Compatibilidad'
C -----
WRITE(2,50)CHAR(27),'[16;5f'
WRITE(2,50)CHAR(27),'[0;1;33;44m'
WRITE(2,300)'IMAGEIMP'
WRITE(2,50)CHAR(27),'[0;37m'
WRITE(2,50)CHAR(27),'[16;15f'
WRITE(2,350)'Programa Auxiliar Impresion Imagenes.'
C -----
WRITE(2,50)CHAR(27),'[20;5f'
WRITE(2,50)CHAR(27),'[0;1;33;44m'
WRITE(2,300)'POST '
WRITE(2,50)CHAR(27),'[0;37m'
WRITE(2,50)CHAR(27),'[20;15f'
WRITE(2,350)'Paquete Integrado de Postproceso.'
C -----
WRITE(2,50)CHAR(27),'[0;1;37m'
WRITE(2,50)CHAR(27),'[25;55f'
WRITE(2,250)'INTRO para continuar...'
WRITE(2,*)CHAR(7)
READ(*,*)
C -----
C -----
CUARTA PAGINA
C -----
WRITE(2,50)CHAR(27),'[2J'
WRITE(2,50)CHAR(27),'[0;1;33;44m'
WRITE(2,50)CHAR(27),'[1;14'
WRITE(2,400)'INFORMACION - AYUDA'
400 FORMAT(' ',30X,A,30X)

```

```

        WRITE(2,50)CHAR(27),'[12;1f'
        WRITE(2,400)' ENTRADA DE DATOS'
-----
        WRITE(2,50)CHAR(27),'[0;1;33;47m'
        WRITE(2,50)CHAR(27),'[3;1f'

        WRITE(2,450)'          AUXILIAR      '
        WRITE(2,450)'          '
        WRITE(2,450)'          '
        WRITE(2,450)'          '
        WRITE(2,450)'          '
        WRITE(2,450)'          FORMATO DATOS E/S      '
        WRITE(2,450)'          '
        WRITE(2,450)'          '
        WRITE(2,50)CHAR(27),'[3;42f'
        WRITE(2,450)'          GENERAL      '
        WRITE(2,50)CHAR(27),'[0;30;47m'
        WRITE(2,50)CHAR(27),'[4;42f'
        WRITE(2,450)' Procesado de Isoclinas corregidas      '
        WRITE(2,50)CHAR(27),'[5;42f'
        WRITE(2,450)' IC- & .IMG mediante operativa con      '
        WRITE(2,50)CHAR(27),'[6;42f'
        WRITE(2,450)' Variable compleja de angulo duplo.      '
        WRITE(2,50)CHAR(27),'[7;42f'
        WRITE(2,450)' Interpolacion en pixeles exentos de      '
        WRITE(2,50)CHAR(27),'[8;42f'
        WRITE(2,450)' valor angular. Grabacion de resul-      '
        WRITE(2,50)CHAR(27),'[9;42f'
        WRITE(2,450)' tado sobre ISO.IMG.      '
        WRITE(2,50)CHAR(27),'[10;42f'
        WRITE(2,450)'          '
        450   FORMAT(' ',A)
        C
        WRITE(2,450)CHAR(7)
        WRITE(2,50)CHAR(27),'[0;1;37m'
        WRITE(2,50)CHAR(27),'[24;55f'
        WRITE(2,*)'INTRO para continuar....'
        WRITE(2,50)CHAR(27),'[24;55f'
        READ(*,*)
        WRITE(2,50)CHAR(27),'[24;55f'
        WRITE(2,*)'          PROCESO.      '
        WRITE(2,50)CHAR(27),'[4;1f'
        WRITE(2,50)CHAR(27),'[0;30;47m'
-----
        END

```

## IMAGEIMP.FOR

```

PROGRAM IMAGEIMP
INCLUDE 'ITEXPC.INC'
IMPLICIT INTEGER*2 (A-Z)
INTEGER*2 DATUM(128,128)
CHARACTER*127 TS
CHARACTER*20 FNAME
CHARACTER*127 COMLIN
CHARACTER*1 IMP(128),A1,A2,A3
OPEN (1,FILE='PRN')
WRITE(1,*) CHAR(15)
WRITE(1,*) CHAR(27),CHAR(51),CHAR(18)
WRITE(1,*) CHAR(27),CHAR(83),CHAR(0)
CALL SETHDW(16#FFFOO,14#A000,1)
CALL INITRE
CALL INITLU
CALL SCLEAR (128,1)
TS='--IMPRESION IMAGEN'
CALL TEXT (10,300,0,2,50,127,TS)
TS='IMAGEIMP'
CALL TEXT (3,100,0,8,255,127,TS)
10 WRITE(*,*) 'NOMBRE DEL ARCHIVO ..... = .IMO ?'
READ(*,100) FNAME
100 FORMAT (A)
CALL SCLEAR (128,1)
X=0
Y=0
DX=256
DY=256
ERRVAL=READFT(X,Y,DX,DY,FNAME,COMLIN)
WRITE(*,*) 'POSSIBLE ERROR ..... = ',ERRVAL
IF(ERRVAL.NE.0) GOTO 10
WRITE(*,*) 'OPCION DE CONVERSION ..... = ? (0/1)'
WRITE(*,*) ' 0 ..... MANUAL ( 3 niveles )'
WRITE(*,*) ' 1 ..... AUTOMATICO ( .25+2 niveles )'
READ(*,*) OP
IF(OP.EQ.0) THEN
    WRITE(*,*) ' '
    READ(*,100) A1
    WRITE(*,*) ' '
    READ(*,100) A2
    WRITE(*,*) ' '
    READ(*,100) A3
ENDIF
DO 21 J=1,128
    DO 20 I=1,128
        X=254-2*(J-1)
        Y=2*(I-1)
        DATUM(I,J)=RPIXEL(X,Y)
        IF (OP.EQ.0) THEN
            IMP(I)='*'
            IF (DATUM(I,J).EQ.0) IMP(I)=A1
            IF (DATUM(I,J).EQ.254) IMP(I)=A2
            IF (IMP(I).EQ.'*') IMP(I)=A3
        ELSE
            IF (DATUM(I,J).LE.1) THEN
                IMP(I)='0'
                GOTO 20
            ENDIF
            IF (DATUM(I,J).LE.10) THEN
                IMP(I)='A'
                GOTO 20
            ENDIF
            IF (DATUM(I,J).LE.20) THEN
                IMP(I)='B'
                GOTO 20
            ENDIF
            IF (DATUM(I,J).LE.30) THEN
                IMP(I)='C'
                GOTO 20
            ENDIF
            IF (DATUM(I,J).LE.40) THEN
                IMP(I)='D'
        ENDIF
20     CONTINUE
21     CONTINUE

```

```

        GOTO 20
ENDIF
IF (DATUM(I,J).LE.50) THEN
    IMP(I)='E'
    GOTO 20
ENDIF
IF (DATUM(I,J).LE.60) THEN
    IMP(I)='F'
    GOTO 20
ENDIF
IF (DATUM(I,J).LE.70) THEN
    IMP(I)='G'
    GOTO 20
ENDIF
IF (DATUM(I,J).LE.80) THEN
    IMP(I)='H'
    GOTO 20
ENDIF
IF (DATUM(I,J).LE.90) THEN
    IMP(I)='I'
    GOTO 20
ENDIF
IF (DATUM(I,J).LE.100) THEN
    IMP(I)='J'
    GOTO 20
ENDIF
IF (DATUM(I,J).LE.110) THEN
    IMP(I)='K'
    GOTO 20
ENDIF
IF (DATUM(I,J).LE.120) THEN
    IMP(I)='L'
    GOTO 20
ENDIF
IF (DATUM(I,J).LE.130) THEN
    IMP(I)='M'
    GOTO 20
ENDIF
IF (DATUM(I,J).LE.140) THEN
    IMP(I)='N'
    GOTO 20
ENDIF
IF (DATUM(I,J).LE.150) THEN
    IMP(I)='O'
    GOTO 20
ENDIF
IF (DATUM(I,J).LE.160) THEN
    IMP(I)='P'
    GOTO 20
ENDIF
IF (DATUM(I,J).LE.170) THEN
    IMP(I)='Q'
    GOTO 20
ENDIF
IF (DATUM(I,J).LE.180) THEN
    IMP(I)='R'
    GOTO 20
ENDIF
IF (DATUM(I,J).LE.190) THEN
    IMP(I)='S'
    GOTO 20
ENDIF
IF (DATUM(I,J).LE.200) THEN
    IMP(I)='T'
    GOTO 20
ENDIF
IF (DATUM(I,J).LE.210) THEN
    IMP(I)='U'
    GOTO 20
ENDIF
IF (DATUM(I,J).LE.220) THEN
    IMP(I)='V'
    GOTO 20
ENDIF
IF (DATUM(I,J).LE.230) THEN

```



```
        IMP(I)='W'
        GOTO 20
    ENDIF
    IF (DATUM(I,J).LE.240) THEN
        IMP(I)='X'
        GOTO 20
    ENDIF
    IF (DATUM(I,J).LE.250) THEN
        IMP(I)='Y'
        GOTO 20
    ENDIF
    IF (DATUM(I,J).LE.255) THEN
        IMP(I)='.'
        GOTO 20
    ENDIF
    ENDIF
20    CONTINUE
21    WRITE(1,200) (IMP(I),I=1,128)
200   FORMAT (' ',128A1)
STOP
END
```

## RETARDO.FOR

```
PROGRAM RETARDO
INCLUDE: 'ITEXPC. INC'
C
C           DEFINICION DE VARIABLES
C
IMPLICIT INTEGER*2 (A-Z)
INTEGER*2 L(4), Z(4), NIVEL
INTEGER*2 PIXARRAY(256)
INTEGER*2 TOTAL(256, 256)
INTEGER*4 MM, POS
INTEGER*4 HIBT(256)
REAL*4 NN, NMAX
REAL*4 D(50)
CHARACTER*127 TS
CHARACTER*21 FNAME
CHARACTER*127 COMLIN
CHARACTER*8 JOB
CHARACTER*1 VALOR(100)
C
C           APERTURA DE CANALES COMUNICACION
C
OPEN (1,FILE='PRN')
OPEN (2,FILE='CON')
C
C           INICIALIZACION IMPRESORA
C
WRITE(1,*) CHAR(15)
WRITE(1,*) CHAR(27),CHAR(51),CHAR(18)
WRITE(1,*) CHAR(27),CHAR(83),CHAR(0)
C
C           INICIALIZAR REGISTROS - ROTULOS MONITOR VIDEO
C
CALL SETHDW(16#FF00,16#A000,1)
CALL INITIA
CALL SCLEAR (128,1)
TS='CALCULO RETARDO TOTAL'
CALL TEXT (10,300,0,2,50,127,TS)
TS='RETARDO'
CALL TEXT (3,100,0,8,255,127,TS)
C
C           DEFINICION MONITOR IBM
C
WRITE(2,'(IX,2A1)') CHAR(27),'[23'
WRITE(2,'(IX,2A1)') CHAR(27),'[=4'
C
C           LECTURA Y REGISTRO "CONT.IMG"
C
WRITE(2,*) 'TITULO DEL TRABAJO (max 8) = ..... '
READ(*,1000) JOB
FORMAT (A)
WRITE(2,'(IX/1X)')
C
CALL SCLEAR(0,1)
C
ERRVAL=READFT(0,0,256,256,'CONT.IMG',COMLIN)
IF(ERRVAL.NE.0) WRITE(2,*) 'ERROR LECTURA ARCHIVO CONT.IMG'
DO 10 I=1,256
  DO 10 J=1,256
    X=J-1
    Y=I-1
    ZC=RPIXEL(X,Y)
    IF(ZC.LT.250) TOTAL(I,J)=20000
10  CONTINUE
C
CALL SCLEAR(0,1)
C
L(1)=405
ERRVAL=READFT(0,0,256,256,'L1.IMG',COMLIN)
IF(ERRVAL.NE.0) WRITE(2,*) 'ERROR LECTURA ARCHIVO L1.IMG'
```

```

L(2)=470
ERRVAL=READFT(256,0,256,256,'L2.IMG',COMLIN)
IF(ERRVAL.NE.0) WRITE(2,*)'ERROR LECTURA ARCHIVO L2.IMG'
C
L(3)=530
ERRVAL=READFT(0,256,256,256,'L3.IMG',COMLIN)
IF(ERRVAL.NE.0) WRITE(2,*)'ERROR LECTURA ARCHIVO L3.IMG'
C
L(4)=640
ERRVAL=READFT(256,256,256,256,'L4.IMG',COMLIN)
IF(ERRVAL.NE.0) WRITE(2,*)'ERROR LECTURA ARCHIVO L4.IMG'
C
C-----  

C-----  

C----- SUAVIZADO IMAGEN  

C-----  

C-----  

NS=0
NST=0
WRITE(2,*)'NUMERO DE SUAVIZADOS (1-3) = .....'
READ(*,*) NS
NST=NST+1
++++++ PARA L1 ++++++
DO 117 I=1,256
DO 117 J=1,256
    X=J-1
    Y=I-1
    IF(TOTAL(I,J).EQ.20000) THEN
        GOTO 117
    ENDIF
    NIVEL=48 RPIXEL(X,Y)
    DIV=4
112    IF(TOTAL(I-1,J+1).EQ.20000) GOTO 113
    NIVEL = NIVEL + RPIXEL(X+1,Y-1)
    DIV= DIV + 1
113    IF(TOTAL(I-1,J-1).EQ.20000) GOTO 114
    NIVEL = NIVEL + RPIXEL(X-1,Y-1)
    DIV= DIV + 1
114    IF(TOTAL(I+1,J-1).EQ.20000) GOTO 115
    NIVEL = NIVEL + RPIXEL(X-1,Y+1)
    DIV= DIV + 1
115    IF(TOTAL(I+1,J+1).EQ.20000) GOTO 116
    NIVEL = NIVEL + RPIXEL(X+1,Y+1)
    DIV= DIV + 1
116    NIVEL= NIVEL / DIV
    CALL WPIXEL(X,Y,NIVEL)
117    CONTINUE
C    ++++++ PARA L2 ++++++
DO 127 I=1,256
DO 127 J=1,256
    X=J+255
    Y=I-1
    IF(TOTAL(I,J).EQ.20000) THEN
        GOTO 127
    ENDIF
    NIVEL=48 RPIXEL(X,Y)
    DIV=4
122    IF(TOTAL(I-1,J+1).EQ.20000) GOTO 123
    NIVEL = NIVEL + RPIXEL(X+1,Y-1)
    DIV= DIV + 1
123    IF(TOTAL(I-1,J-1).EQ.20000) GOTO 124
    NIVEL = NIVEL + RPIXEL(X-1,Y-1)
    DIV= DIV + 1
124    IF(TOTAL(I+1,J-1).EQ.20000) GOTO 125
    NIVEL = NIVEL + RPIXEL(X-1,Y+1)
    DIV= DIV + 1
125    IF(TOTAL(I+1,J+1).EQ.20000) GOTO 126
    NIVEL = NIVEL + RPIXEL(X+1,Y+1)
    DIV= DIV + 1
126    NIVEL= NIVEL / DIV
    CALL WPIXEL(X,Y,NIVEL)
127    CONTINUE
C    ++++++ PARA L3 ++++++
DO 137 I=1,256

```

```

DO 137 J=1,256
    X=J-1
    Y=I+255
    IF(TOTAL(I,J).EQ.20000) THEN
        GOTO 137
    ENDIF.
    NIVEL=4* RPIXEL(X,Y)
    DIV=4
132     IF(TOTAL(I-1,J+1).EQ.20000) GOTO 133
    NIVEL = NIVEL + RPIXEL(X+1,Y-1)
    DIV= DIV + 1
133     IF(TOTAL(I-1,J-1).EQ.20000) GOTO 134
    NIVEL = NIVEL + RPIXEL(X-1,Y-1)
    DIV= DIV + 1
134     IF(TOTAL(I+1,J-1).EQ.20000) GOTO 135
    NIVEL = NIVEL + RPIXEL(X-1,Y+1)
    DIV= DIV + 1
135     IF(TOTAL(I+1,J+1).EQ.20000) GOTO 136
    NIVEL = NIVEL + RPIXEL(X+1,Y+1)
    DIV= DIV + 1
136     NIVEL= NIVEL / DIV
    CALL WPIXEL(X,Y,NIVEL)
137     CONTINUE
C     ++++++ PARA L4 ++++++
DO 147 I=1,256
DO 147 J=1,256
    X=J+255
    Y=I+255
    IF(TOTAL(I,J).EQ.20000) THEN
        GOTO 147
    ENDIF.
    NIVEL=4* RPIXEL(X,Y)
    DIV=4
142     IF(TOTAL(I-1,J+1).EQ.20000) GOTO 143
    NIVEL = NIVEL + RPIXEL(X+1,Y-1)
    DIV= DIV + 1
143     IF(TOTAL(I-1,J-1).EQ.20000) GOTO 144
    NIVEL = NIVEL + RPIXEL(X-1,Y-1)
    DIV= DIV + 1
144     IF(TOTAL(I+1,J-1).EQ.20000) GOTO 145
    NIVEL = NIVEL + RPIXEL(X-1,Y+1)
    DIV= DIV + 1
145     IF(TOTAL(I+1,J+1).EQ.20000) GOTO 146
    NIVEL = NIVEL + RPIXEL(X+1,Y+1)
    DIV= DIV + 1
146     NIVEL= NIVEL / DIV
    CALL WPIXEL(X,Y,NIVEL)
147     CONTINUE
    IF(NST.LE.NS) GOTO 111
C
C----- ANALISIS Y CONVERSION DE LA IMAGEN -----
C
WRITE(2,*)'***** REGISTRO L1.IMG / L(1)=405 nm. *****'
WRITE(2,*)'Z[fondo] (Tipico= 30) = ..... '
READ(*,*) ZF
C
CALL HISTOG (0,0,256,256,1,1,HIST)
HH=0
DO 21 I=1,256
    HH= HH + HIST(257-I)
    IF (HH.GT.750) GOTO 22
21     CONTINUE
22     ZMAX=256-I
C
WRITE(2,*)'Z[Max] (Obtenido en Histograma) = ',ZMAX
WRITE(2,*'(1X/1X)')
C
DO 23 I=1,256
    Y=I-1
    CALL RHLINE (0,Y,256,PIXARRAY)

```

```

DO 24 N=1,256
    PIXARRAY(N)=((PIXARRAY(N)-ZF)*250)/(ZMAX-ZF)
    IF (PIXARRAY(N).LT.0) PIXARRAY(N)=0
    IF (PIXARRAY(N).GT.250) PIXARRAY(N)=250
24    CONTINUE
23    CALL WHLINE (0,Y,256,PIXARRAY)
C -----
WRITE(2,*)'***** REGISTRO L2.IMG / L(2)=470 nm. *****'
WRITE(2,*)'ZF[fondo] (Tipico= 30) = ..... '
READ(*,*) ZF
C
CALL HISTOG (256,0,256,256,1,1,HIST)
HH= 0
DO 31 I=1,256
    HH= HH + HIST(257-I)
    IF (HH.GT.750) GOTO 32
31    CONTINUE
32    ZMAX= 256-I
C
WRITE(2,*)'Z[Max] (Obtenido en Histograma) = ',ZMAX
WRITE(2,*)(IX/IX)
C
DO 33 I=1,256
    Y=I-1
    CALL RHLINE (256,Y,256,PIXARRAY)
    DO 34 N=1,256
        PIXARRAY(N)=((PIXARRAY(N)-ZF)*250)/(ZMAX-ZF)
        IF (PIXARRAY(N).LT.0) PIXARRAY(N)=0
        IF (PIXARRAY(N).GT.250) PIXARRAY(N)=250
34    CONTINUE
33    CALL WHLINE (256,Y,256,PIXARRAY)
C -----
WRITE(2,*)'***** REGISTRO L3.IMG / L(3)=530 nm. *****'
WRITE(2,*)'ZF[fondo] (Tipico= 30) = ..... '
READ(*,*) ZF
C
CALL HISTOG (0,256,256,256,1,1,HIST)
HH= 0
DO 41 I=1,256
    HH= HH + HIST(257-I)
    IF (HH.GT.750) GOTO 42
41    CONTINUE
42    ZMAX=256-I
C
WRITE(2,*)'Z[Max] (Obtenido en Histograma) = ',ZMAX
WRITE(2,*)(IX/IX)
C
DO 43 I=1,256
    Y=(I-1)+256
    CALL RHLINE (0,Y,256,PIXARRAY)
    DO 44 N=1,256
        PIXARRAY(N)=((PIXARRAY(N)-ZF)*250)/(ZMAX-ZF)
        IF (PIXARRAY(N).LT.0) PIXARRAY(N)=0
        IF (PIXARRAY(N).GT.250) PIXARRAY(N)=250
44    CONTINUE
43    CALL WHLINE (0,Y,256,PIXARRAY)
C -----
WRITE(2,*)'***** REGISTRO L4.IMG / L(4)=640 nm. *****'
WRITE(2,*)'ZF[fondo] (Tipico= 30) = ..... '
READ(*,*) ZF
C
CALL HISTOG (256,256,256,256,1,1,HIST)
HH= 0
DO 51 I=1,256
    HH= HH + HIST(257-I)
    IF (HH.GT.750) GOTO 52
51    CONTINUE
52    ZMAX=256-I
C

```

```

      WRITE(2,*)'ZEMax] (Obtenido en Histograma) = ',ZMAX
      WRITE(2,'(1X/1X)')

C      DO 53 I=1,256
         Y=(I-1)+256
         CALL RHLINE (256,Y,256,PIXARRAY)
         DO 54 N=1,256
            PIXARRAY(N)=((PIXARRAY(N)-ZF)*250)/(ZMAX-ZF)
            IF (PIXARRAY(N).LT.0) PIXARRAY(N)=0
            IF (PIXARRAY(N).GT.250) PIXARRAY(N)=250
54      CONTINUE
53      CALL WHLINE (256,Y,256,PIXARRAY)

C      -----
C      PETICIONES DE CONTROL
C      -----
      WRITE(2,*)'***** LONGITUD DE ONDA MAESTRA *****'
      WRITE(2,1010)
1010  FORMAT(' ','L(1)=405nm.'//',','L(2)=470nm.'//',','L(3)=530nm.'//
     ' ','L(4)=640nm.')
      WRITE(2,*)'ELECCION L(I). I (1-4) = ..... '
      READ(*,*) MM
      LM=L(MM)
      WRITE(2,*)'LONGITUD DE ONDA MAESTRA = ',LM,'nm.'
      WRITE(2,'(1X/1X)')

C      WRITE(2,*)'***** ORDEN ENTERO MAXIMO *****'
      WRITE(2,*)'ORDEN MAX. ESPERADO (0-5) (405nm) = ..... '
      READ(*,*) NMAX
      WRITE(2,'(1X/1X)')

C      WRITE(2,*)'***** LINEA DE CONTROL *****'
      WRITE(2,*)'ELECCION FILA (0-255) (1000/NO) = ..... '
      READ(*,*) NLIN
      WRITE(2,'(1X/1X)')

C      WRITE(2,*)'***** DURACION DEL PROCESO APROX. 20 min. *****
C      -----
C      OBTENCION RETARDO EN 128x128 PTOS.
C      -----
      DMAX=0
      DO 60 I=2,256,2
         DO 60 J=2,256,2
            IF (TOTAL(I,J).EQ.20000) GOTO 60
C            X=J-1
C            Y=I-1
C
            Z(1)=RPIXEL(X,Y)
            Z(2)=RPIXEL(X+256,Y)
            Z(3)=RPIXEL(X,Y+256)
            Z(4)=RPIXEL(X+256,Y+256)
C
            NN=ASIN(SQRT(Z(MM)/250.))/3.14159
C
            D(1)=NN*LM-50
            D(2)=NN*LM-25
            D(3)=NN*LM
            D(4)=NN*LM+25
            D(5)=NN*LM+50
            D(6)=-(1-NN)*LM-50
            D(7)=-(1-NN)*LM-25
            D(8)=-(1-NN)*LM
            D(9)=-(1-NN)*LM+25
            D(10)=-(1-NN)*LM+50
            D(11)=(1+NN)*LM-50
            D(12)=(1+NN)*LM-25
            D(13)=(1+NN)*LM
            D(14)=(1+NN)*LM+25
            D(15)=(1+NN)*LM+50
            D(16)=(2-NN)*LM-50
            D(17)=(2-NN)*LM-25
            D(18)=(2-NN)*LM

```

```

D(19) = (2-NN)*LM+25
D(20) = (2-NN)*LM+50
D(21) = (2+NN)*LM-50
D(22) = (2+NN)*LM-25
D(23) = (2+NN)*LM
D(24) = (2+NN)*LM+25
D(25) = (2+NN)*LM+50
D(26) = (3-NN)*LM-50
D(27) = (3-NN)*LM-25
D(28) = (3-NN)*LM
D(29) = (3-NN)*LM+25
D(30) = (3-NN)*LM+50
D(31) = (3+NN)*LM-50
D(32) = (3+NN)*LM-25
D(33) = (3+NN)*LM
D(34) = (3+NN)*LM+25
D(35) = (3+NN)*LM+50
D(36) = (4-NN)*LM-50
D(37) = (4-NN)*LM-25
D(38) = (4-NN)*LM
D(39) = (4-NN)*LM+25
D(40) = (4-NN)*LM+50
D(41) = (4+NN)*LM-50
D(42) = (4+NN)*LM-25
D(43) = (4+NN)*LM
D(44) = (4+NN)*LM+25
D(45) = (4+NN)*LM+50
D(46) = (5-NN)*LM-50
D(47) = (5-NN)*LM-25
D(48) = (5-NN)*LM
D(49) = (5-NN)*LM+25
D(50) = (5-NN)*LM+50

C
      EMIN=10000
      DO 73 M=1,50
      IF (D(M).GT.(NMAX*405)) GOTO 74
      E=ABS(250*(1-EXP(-1.435E-4*D(M))*COS(D(M)*3.1416/405.)*#2)-Z(1))
C   +ABS(250*(1-EXP(-0.591E-4*D(M))*COS(D(M)*3.1416/470.)*#2)-Z(2))
C   +ABS(250*(1-EXP(-0.257E-4*D(M))*COS(D(M)*3.1416/530.)*#2)-Z(3))
C   +ABS(250*(1-EXP(-0.105E-4*D(M))*COS(D(M)*3.1416/640.)*#2)-Z(4))
      IF (E.GT.EMIN) GOTO 73
      EMIN=E
      DMIN=D(M)
      CONTINUE
C
73
C
      CONTINUE
      DO 73 M=1,5
      D(M)=(DMIN-15)+6*M
      E=ABS(250*(1-EXP(-1.435E-4*D(M))*COS(D(M)*3.1416/405.)*#2)-Z(1))
C   +ABS(250*(1-EXP(-0.591E-4*D(M))*COS(D(M)*3.1416/470.)*#2)-Z(2))
C   +ABS(250*(1-EXP(-0.257E-4*D(M))*COS(D(M)*3.1416/530.)*#2)-Z(3))
C   +ABS(250*(1-EXP(-0.105E-4*D(M))*COS(D(M)*3.1416/640.)*#2)-Z(4))
      IF (E.GT.EMIN) GOTO 73
      EMIN=E
      DMIN=D(M)
      CONTINUE
C
75
C
      TOTAL(I,J)=DMIN
      IF (DMIN.GT.DMAX) DMAX=DMIN
      CONTINUE
C
      WRITE(2,*) 'RETARDO MAXIMO EN MODELO =      ',DMAX,'nm.'
      WRITE(2,*)"(IX/IX)"
      -----
      GENERACION SOBRE 256x256 PTOS.
      -----
      WRITE(2,*)"***** REGISTRO Y SUAVIZADO RET.IMG *****"
      WRITE(2,*)"(IX/IX)"
      DO 80 I=2,256,2
      DO 80 J=2,256,2
          X=(J/2)-1
          Y=(I/2)-1

```

```

        IF (TOTAL(I,J).EQ.20000) THEN
            CALL WPIXEL(X,Y,O)
        ELSE
            TOTAL(I,J)=(TOTAL(I,J)*250)/DMAX
            CALL WPIXEL(X,Y,TOTAL(I,J))
        ENDIF
80    CONTINUE
C
C     CALL ZOOM (0,0,128,128,0,0,512,512,4,4)
C     CALL LOPASS (0,0,512,512,0)
C     CALL SQUISH
C-----REGISTRO RET.IMG
C-----ERRVAL=SAVEFT (0,0,256,256,0,'RET.IMG',' ')
C     IF (ERRVAL.NE.0) WRITE(2,*) 'ERROR GRABACION ARCHIVO RET.IMG'
C-----IMPRESION RETARDO COLUMN
C-----IF (NLIN.EQ.1000) GOTO 110
C
C     WRITE(1,1020)
1020  FORMAT(' ',10X,'COLUMN',105X,'RETARDO')
C
DO 100 I=1,128
    XX=2*I-1
    DATUM=RPIXEL(XX,NLIN)
    POS=(D
ATUM*100)/250
DO 102 K=1,100
    IF (K.LT.POS) VALOR(K)='.'
    IF (K.GT.POS) VALOR(K)=' '
102   CONTINUE
    VALOR(POS)='*'
    DELTA=(POS*DMAX)/100
100   WRITE(1,1030) XX,(VALOR(K),K=1,100),DELTA
1030  FORMAT(' ',7X,18,'    I',100A1,'I    ',I4,'nm.')
C-----FINAL PROGRAMA
C-----110 STOP
END

```

## ISOSTAT.FOR

```
B>      PROGRAM ISOSTAT
C
C*INCLUDE: 'ITEXPC. INC'
C
C
C***** DEFINICION DE VARIABLES *****
C
IMPLICIT INTEGER*2 (A-Z)
INTEGER*2 TOTAL(256,256),AUX,TMIN,TMAX
INTEGER*2 X,Y,DX,DY
INTEGER*2 ERRVAL
INTEGER*2 ZP,ZM,ZI
CHARACTER*21 FNAME
CHARACTER*127 COMLIN
CHARACTER*127 TS
C
C
C***** CANALES DE COMUNICACION *****
C
C-----IMPRESORA-----
OPEN (1,FILE='PRN')
WRITE (1,*) CHAR(15)
WRITE (1,*) CHAR(27),CHAR(51),CHAR(19)
WRITE (1,*) CHAR(27),CHAR(83),CHAR(10)
C-----MONITOR IBM-----
OPEN (2,FILE='CON')
WRITE (2,'(1X,2A\')') CHAR(27),'[2J'
WRITE (2,'(1X,2A\')') CHAR(27),'[=3h'
C
C
C***** INICIALIZAR PROGRAMA *****
C
CALL BETHDW (16#FF00,16#A000,1)
CALL INITRE
CALL INITLU
CALL SCLEAR (128,1)
TS='LINEAS PSEUDO-ISOSTATICAS'
CALL TEXT (10,300,0,2,50,127,TS)
TS='ISOSTAT'
CALL TEXT (3,100,0,8,255,127,TS)
C
WRITE (2,'(1X,2A\')') CHAR(27),'[2J'
WRITE (2,*)'
WRITE (2,'(1X,2A\')') CHAR(27),'[33m'
WRITE (2,'(1X,2A\')') CHAR(27),'[47m'
WRITE (2,*)'           ISOSTAT   V1.0
WRITE (2,'(1X,2A\')') CHAR(27),'[40m'
WRITE (2,*)'
WRITE (2,*)"PROGRAMA PARA LA OBTENCION DE LA RED COMPLETA DE "
WRITE (2,*)"PSEUDO-ISOSTATICAS SOBRE EL MODELO FOTOELASTICO."
WRITE (2,*)"UTILIZA LOS REGISTROS I=0/15/30/45/60/75 GENERADOS"
WRITE (2,*)"PREVIAMENTE POR ISOCLIN.BCR"
WRITE (2,*)"PERMITE LA ELECCION ENTRE DOS TIPOS DE TRAMA Y SAL-"
WRITE (2,*)"VA EL RESULTADO FINAL EN UN ARCHIVO _____.IMG"
WRITE (2,*)'
C
C
C***** INICIALIZAR MATRIZ TOTAL (256,256) *****
C
DO 10 I=1,256
     DO 10 J=1,256
          TOTAL(I,J)=0
10
C
C
C***** ELECCION FINURA MALLA *****
C
```

```

C
      WRITE (2,'(1X,2A\')') CHAR(27),'[32m'
      WRITE (2,1000)
1000  FORMAT (1X,50(''))
      WRITE(2,*)'ELECCION MALLADO (NORMAL=0/FINO=1) = ..... '
      READ(*,*)
      CALL SCLEAR (50,1)

C
C
C
C
      ***** REGISTRO PARCIAL ANGULO = 0 *****
C
C
      IF(N.EQ.0) FNAME='M-45.IMG'
      IF(N.EQ.1) FNAME='MF-45.IMG'

      ERRVAL=READFT (0,0,256,256,FNAME,COMLIN)
      FNAME='I-0.IMG'
      ERRVAL=READFT (256,0,256,256,FNAME,COMLIN)

      DO 20 I=1,256
          DO 20 J=1,256
              X= I-1
              Y= J-1
              ZM= RPIXEL(X,Y)
              ZI= RPIXEL(X+256,Y)
              ZP= (ZM/254.)*ZI
              CALL WPIXEL(X,Y+256,ZP)
              TOTAL(I,J)= TOTAL(I,J)+ZP
20
C
C
C
C
      ***** REGISTRO PARCIAL ANGULO = 15 *****
C
C
      IF(N.EQ.0) FNAME='M-60.IMG'
      IF(N.EQ.1) FNAME='MF-60.IMG'

      ERRVAL=READFT (0,0,256,256,FNAME,COMLIN)
      FNAME='I-15.IMG'
      ERRVAL=READFT (256,0,256,256,FNAME,COMLIN)

      DO 30 I=1,256
          DO 30 J=1,256
              X= I-1
              Y= J-1
              ZM= RPIXEL(X,Y)
              ZI= RPIXEL(X+256,Y)
              ZP= (ZM/254.)*ZI
              CALL WPIXEL(X,Y+256,ZP)
              TOTAL(I,J)= TOTAL(I,J)+ZP
30
C
C
C
C
      ***** REGISTRO PARCIAL ANGULO = 30 *****
C
C
      IF(N.EQ.0) FNAME='M-75.IMG'
      IF(N.EQ.1) FNAME='MF-75.IMG'

      ERRVAL=READFT (0,0,256,256,FNAME,COMLIN)
      FNAME='I-30.IMG'
      ERRVAL=READFT (256,0,256,256,FNAME,COMLIN)

      DO 40 I=1,256
          DO 40 J=1,256
              X= I-1
              Y= J-1
              ZM= RPIXEL(X,Y)
              ZI= RPIXEL(X+256,Y)
              ZP= (ZM/254.)*ZI
              CALL WPIXEL(X,Y+256,ZP)

```

```

40          TOTAL(I,J)= TOTAL(I,J)+ZP
C
C
C
C      ***** REGISTRO PARCIAL ANGULO = 45 *****
C
C      IF(N.EQ.0) FNAME='M-0.IMG'
C      IF(N.EQ.1) FNAME='MF-0.IMG'
C
C      ERRVAL=READFT(0,0,256,256,FNAME,COMLIN)
C
C      FNAME='I-45.IMG'
C      ERRVAL=READFT(256,0,256,256,FNAME,COMLIN)
C
C      DO 50 I=1,256
C          DO 50 J=1,256
C              X= I-1
C              Y= J-1
C              ZM= RPIXEL(X,Y)
C              ZI= RPIXEL(X+256,Y)
C              ZP= (ZM/254.)*ZI
C              CALL WPIXEL(X,Y+256,ZP)
C              TOTAL(I,J)= TOTAL(I,J)+ZP
50
C
C
C
C      ***** REGISTRO PARCIAL ANGULO = 60 *****
C
C      IF(N.EQ.0) FNAME='M-15.IMG'
C      IF(N.EQ.1) FNAME='MF-15.IMG'
C
C      ERRVAL=READFT(0,0,256,256,FNAME,COMLIN)
C
C      FNAME='I-60.IMG'
C      ERRVAL=READFT(256,0,256,256,FNAME,COMLIN)
C
C      DO 60 I=1,256
C          DO 60 J=1,256
C              X= I-1
C              Y= J-1
C              ZM= RPIXEL(X,Y)
C              ZI= RPIXEL(X+256,Y)
C              ZP= (ZM/254.)*ZI
C              CALL WPIXEL(X,Y+256,ZP)
C              TOTAL(I,J)= TOTAL(I,J)+ZP
60
C
C
C
C      ***** REGISTRO PARCIAL ANGULO = 75 *****
C
C      IF(N.EQ.0) FNAME='M-30.IMG'
C      IF(N.EQ.1) FNAME='MF-30.IMG'
C
C      ERRVAL=READFT(0,0,256,256,FNAME,COMLIN)
C
C      FNAME='I-75.IMG'
C      ERRVAL=READFT(256,0,256,256,FNAME,COMLIN)
C
C      DO 70 I=1,256
C          DO 70 J=1,256
C              X= I-1
C              Y= J-1
C              ZM= RPIXEL(X,Y)
C              ZI= RPIXEL(X+256,Y)
C              ZP= (ZM/254.)*ZI
C              CALL WPIXEL(X,Y+256,ZP)
C              TOTAL(I,J)= TOTAL(I,J)+ZP
70
C
C
C
C      ***** TOTAL(256,256) /VALOR MAX. Y MIN./ REGISTRO *****

```

```

C
DO 75 I=1,256
    DO 75 J=1,256
        AUX=TOTAL(I,J)/6
        X=I-1
        Y=J-1
        CALL WPIXEL(X+256,Y+256,AUX)
75      CONTINUE
C
TMIN=10000
TMAX=0
C
DO 80 I=1,256
    DO 80 J=1,256
        IF(TOTAL(I,J).LE.TMIN) TMIN= TOTAL(I,J)
        IF(TOTAL(I,J).GE.TMAX) TMAX= TOTAL(I,J)
80      CONTINUE
C
WRITE (2,1000)
WRITE (2,1010) 'VALOR MINIMO TOTAL(I,J) = ..... ',TMIN
WRITE (2,1010) 'VALOR MAXIMO TOTAL(I,J) = ..... ',TMAX
1010  FORMAT (1X,A,15)
C
DO 90 I=1,256
    DO 90 J=1,256
        TOTAL(I,J)= ((TOTAL(I,J)-TMIN)*250)/(TMAX-TMIN)
        X= I-1
        Y= J-1
        CALL WPIXEL(X+256,Y+256,TOTAL(I,J))
90      CONTINUE
C
C
C
C **** SALVAR RESULTADO TOTAL (256,256) *****
C
WRITE (2,1000)
WRITE (2,*) 'GRABACION IMAGEN FINAL (SI=1 /NO=0) = ..... '
READ (*,*) N
IF (N.EQ.0) GO TO 100
C
WRITE (2,*) 'NOMBRE ARCHIVO (_____ .IMG) = ..... '
READ (*,1020) FNAME
1020  FORMAT (A)
ERRVAL=SAVEFT (256,256,256,256,0,FNAME,COMLIN)
C
C
C
100   WRITE (2,1000)
WRITE (2,*) '***** FIN PROGRAMA -ISOSTAT- *****'
WRITE (2,1000)
WRITE (2,'(1X,2A\')') CHAR(27), 'Com'
STOP
END

```

